

# Figures

Objektyp: **Appendix**

Zeitschrift: **Entomologica Basiliensia**

Band (Jahr): **5 (1980)**

PDF erstellt am: **20.09.2024**

## **Nutzungsbedingungen**

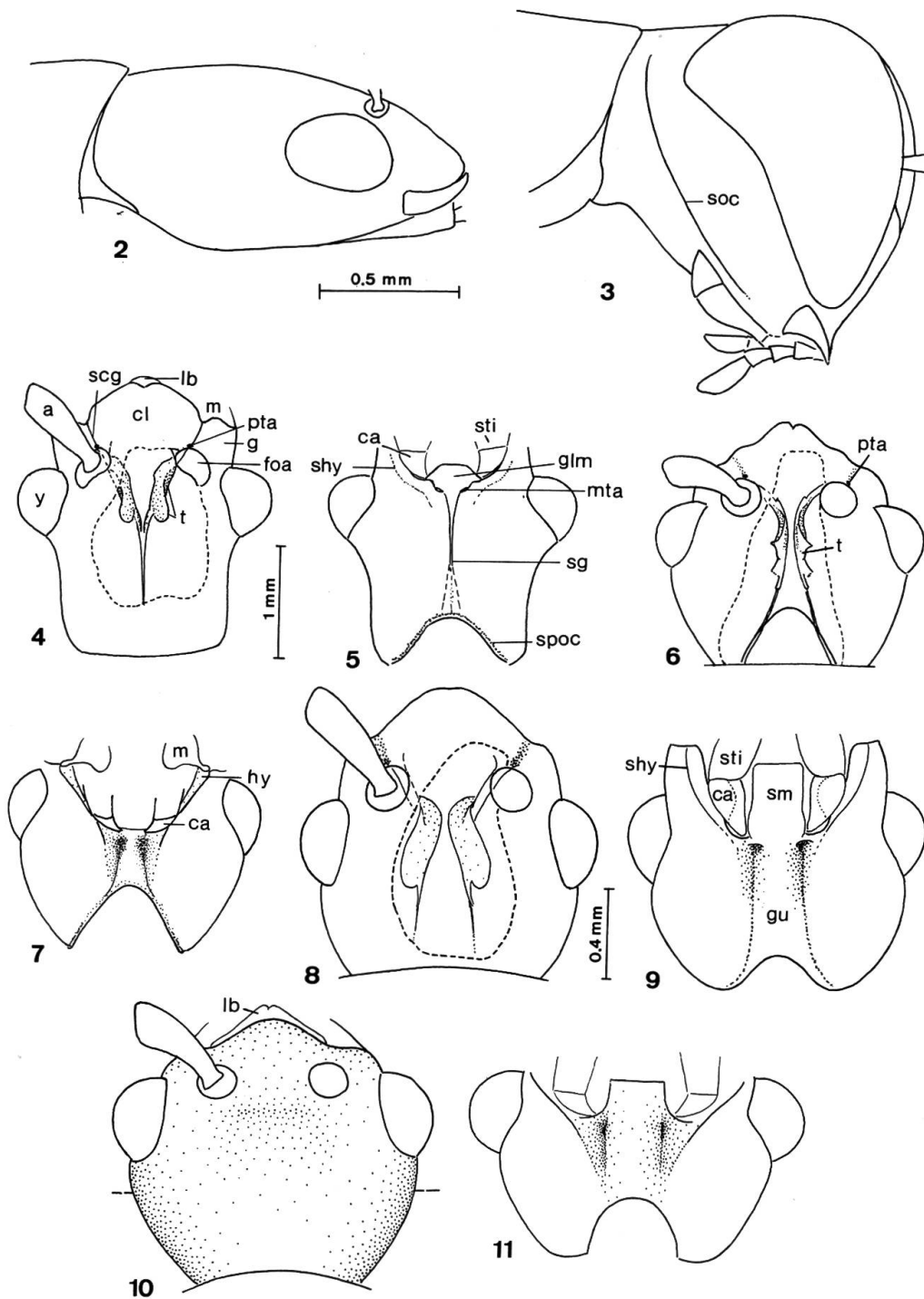
Die ETH-Bibliothek ist Anbieterin der digitalisierten Zeitschriften. Sie besitzt keine Urheberrechte an den Inhalten der Zeitschriften. Die Rechte liegen in der Regel bei den Herausgebern.

Die auf der Plattform e-periodica veröffentlichten Dokumente stehen für nicht-kommerzielle Zwecke in Lehre und Forschung sowie für die private Nutzung frei zur Verfügung. Einzelne Dateien oder Ausdrucke aus diesem Angebot können zusammen mit diesen Nutzungsbedingungen und den korrekten Herkunftsbezeichnungen weitergegeben werden.

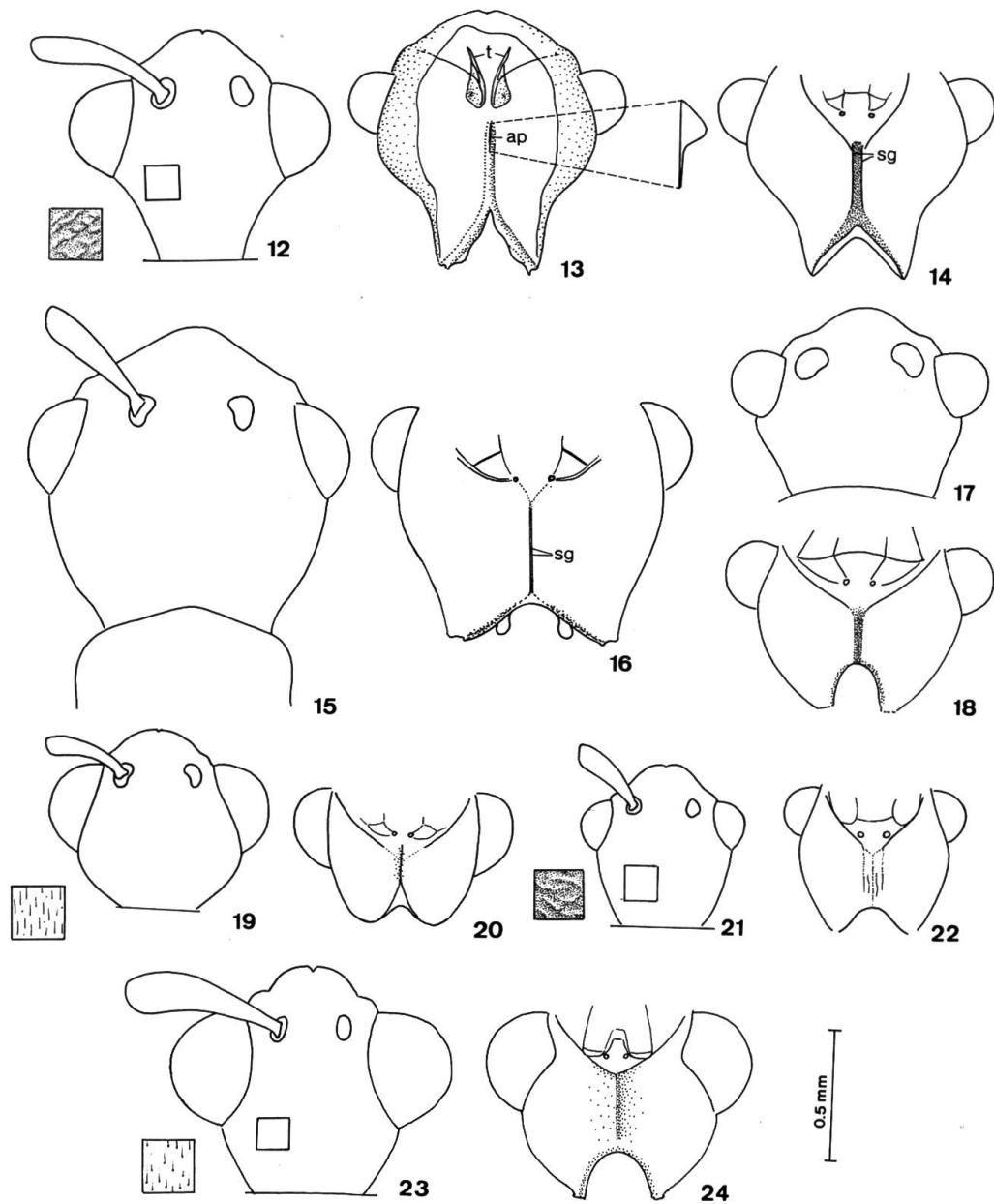
Das Veröffentlichen von Bildern in Print- und Online-Publikationen ist nur mit vorheriger Genehmigung der Rechteinhaber erlaubt. Die systematische Speicherung von Teilen des elektronischen Angebots auf anderen Servern bedarf ebenfalls des schriftlichen Einverständnisses der Rechteinhaber.

## **Haftungsausschluss**

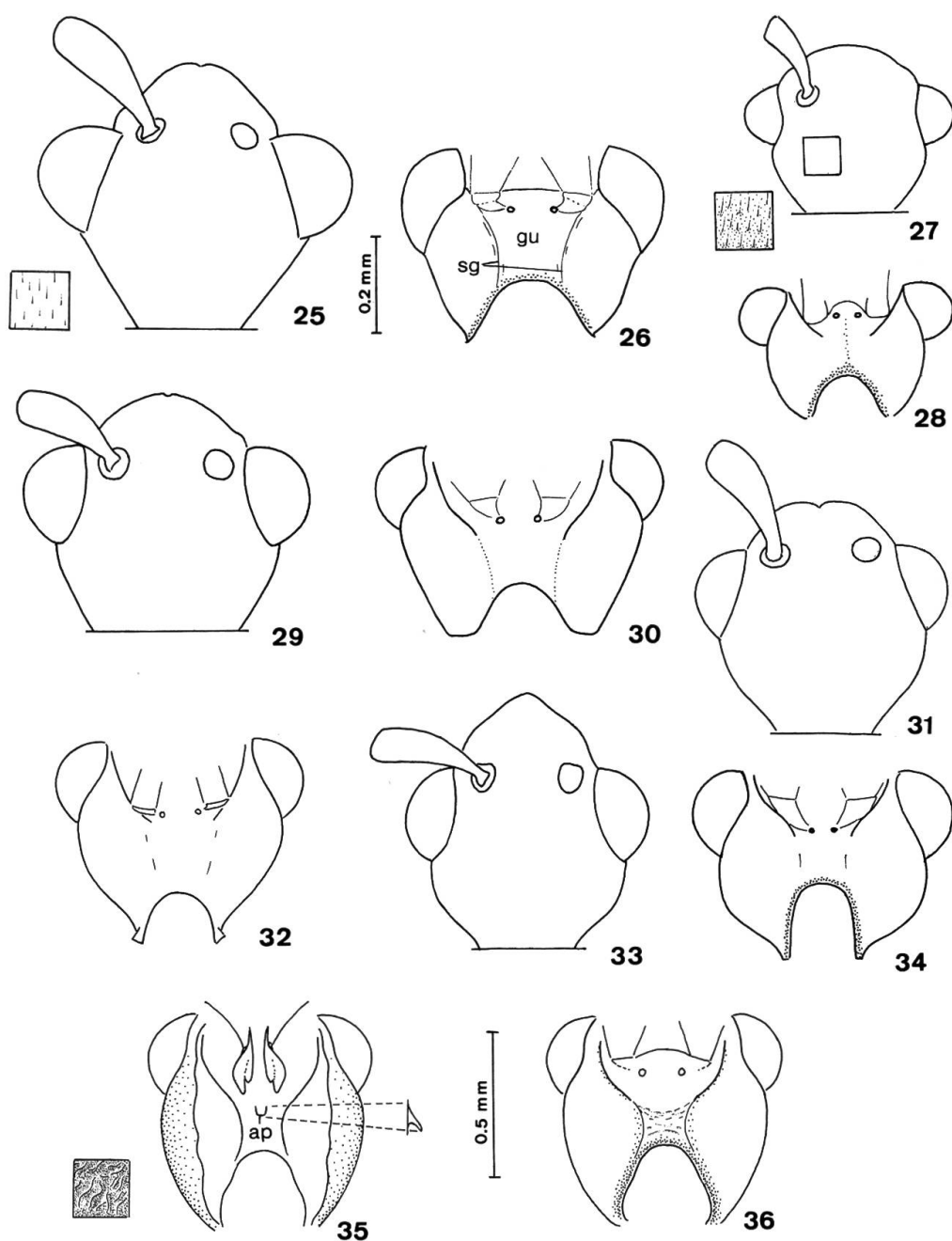
Alle Angaben erfolgen ohne Gewähr für Vollständigkeit oder Richtigkeit. Es wird keine Haftung übernommen für Schäden durch die Verwendung von Informationen aus diesem Online-Angebot oder durch das Fehlen von Informationen. Dies gilt auch für Inhalte Dritter, die über dieses Angebot zugänglich sind.



Figs 2–11: Capsule céphalique de: 2, *Malthinus conspicuus* Kiesw., de profil. 3, *Ichthyurus lateralis* Westw., de profil. 4, *Podabrus alpinus* (Payk.), vue dorsale. 5, Idem, vue ventrale. 6, *Cantharis fusca* (L.), vue dorsale. 7, idem, vue ventrale. 8, *Rhagonycha fulva* (Scop.), vue dorsale. 9, Idem, vue ventrale. 10, *Silis nitidula* (F.), vue dorsale. 11, Idem, vue ventrale. (La ligne traitillée délimite l'endroit où la tête a été sectionnée afin d'observer les structures internes). Les figures 3, 10, 11 sont à la même échelle que la figure 2; 5, 6, 7 que 4; 9 que 8.

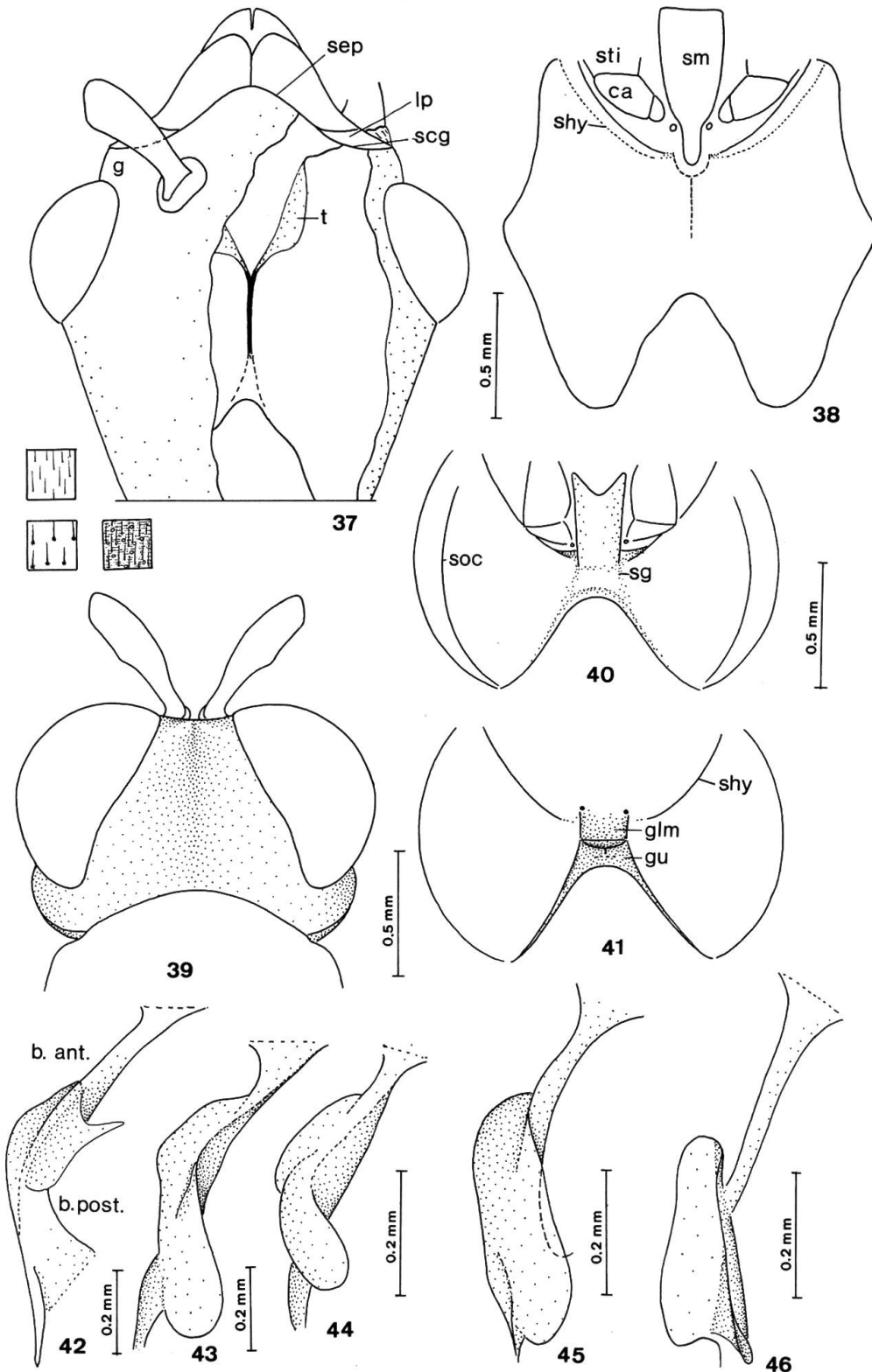


Figs 12–24: Capsule céphalique de: 12, *Malthinus flaveolus* (Herbst) ♂, vue dorsale, 13, Idem ♀, vue dorsale. 14, Idem, ♀, vue ventrale. 15, *Malthinus luteus* (Pic) ♀, vue dorsale, 16, Idem ♀, vue ventrale. 17, *Mimomalthinus niger* Pic ♂, vue dorsale. 18, Idem, ♂, vue ventrale. 19, *Falsomalthinus pallidus* Pic ♂, vue dorsale. 20, Idem, vue ventrale. 21, *Malthinellus bicolor* Kiesw. ♀, vue dorsale. 22, Idem, vue ventrale, 23, *Malthodes marginatus* (Latr.) ♂, vue dorsale, 24, Idem, ♂, vue ventrale. La ligne traitillée délimite l'endroit où la tête a été sectionnée afin d'observer les structures internes.

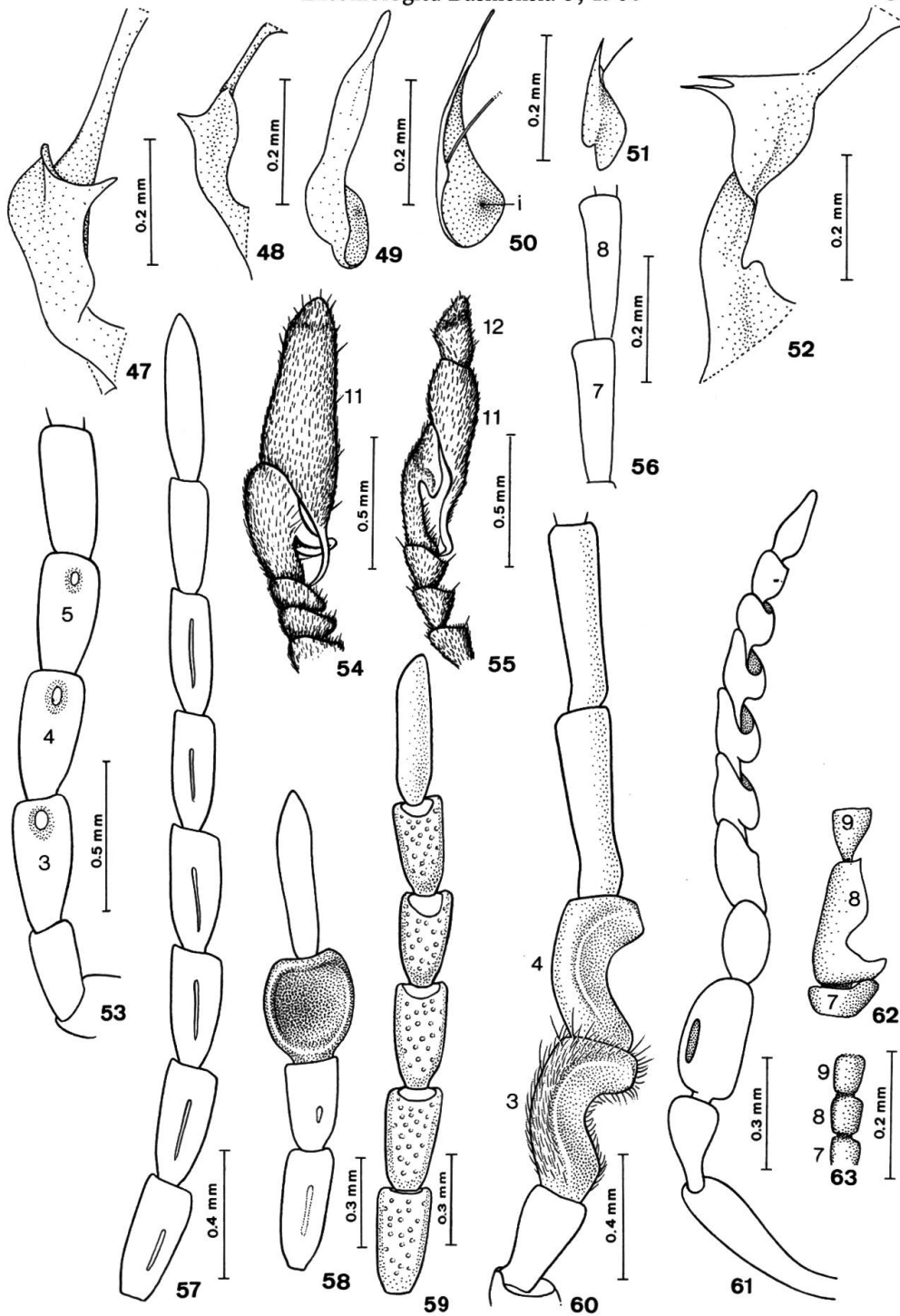


Figs 25–36: Capsule céphalique de: 25, *Frostia laticollis* (Lec.) ♂, vue dorsale. 26, Idem ♂, vue ventrale. 27, *Caccodes granicollis* (Fender) ♀, vue dorsale. 28, Idem ♀, vue ventrale. 29, *Inmalthodes* sp. ♂, vue dorsale. 30, Idem ♂, vue ventrale. 31, *Maltypus niger* Motsch. ♀, vue dorsale. 32, Idem ♀, vue ventrale. 33, *Prosthaptus luteosignatus* (Pic) ♀, vue dorsale. 34, Idem ♀, vue ventrale. 35, *Malchinus sinuatocollis* (Kiesw.) ♀, vue dorsale. 36, Idem ♀, vue ventrale. Les figures 27, 28, 36 sont à la même échelle que la figure 36; 26, 29, 30, 31, 32, 33, 34 que 25.

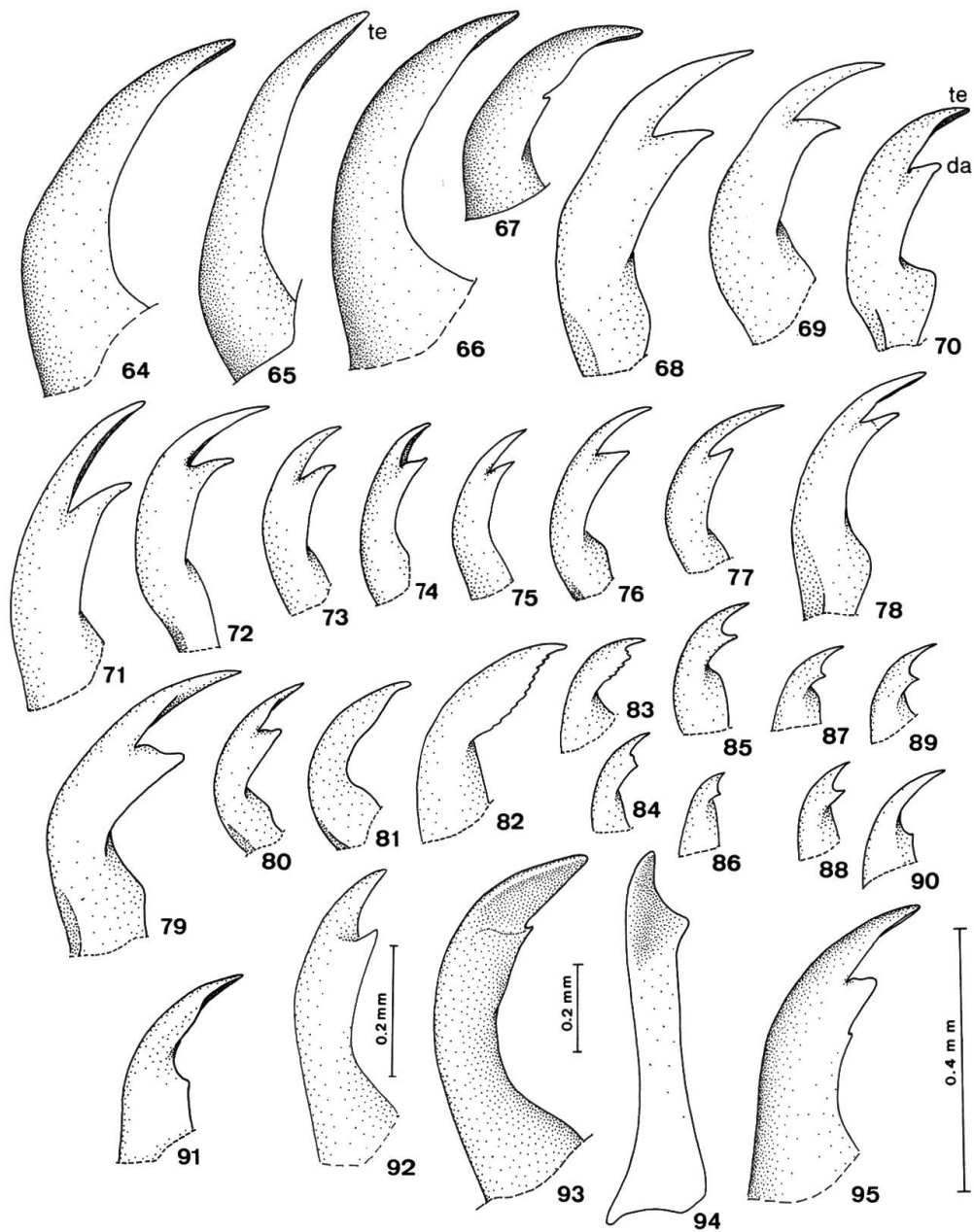




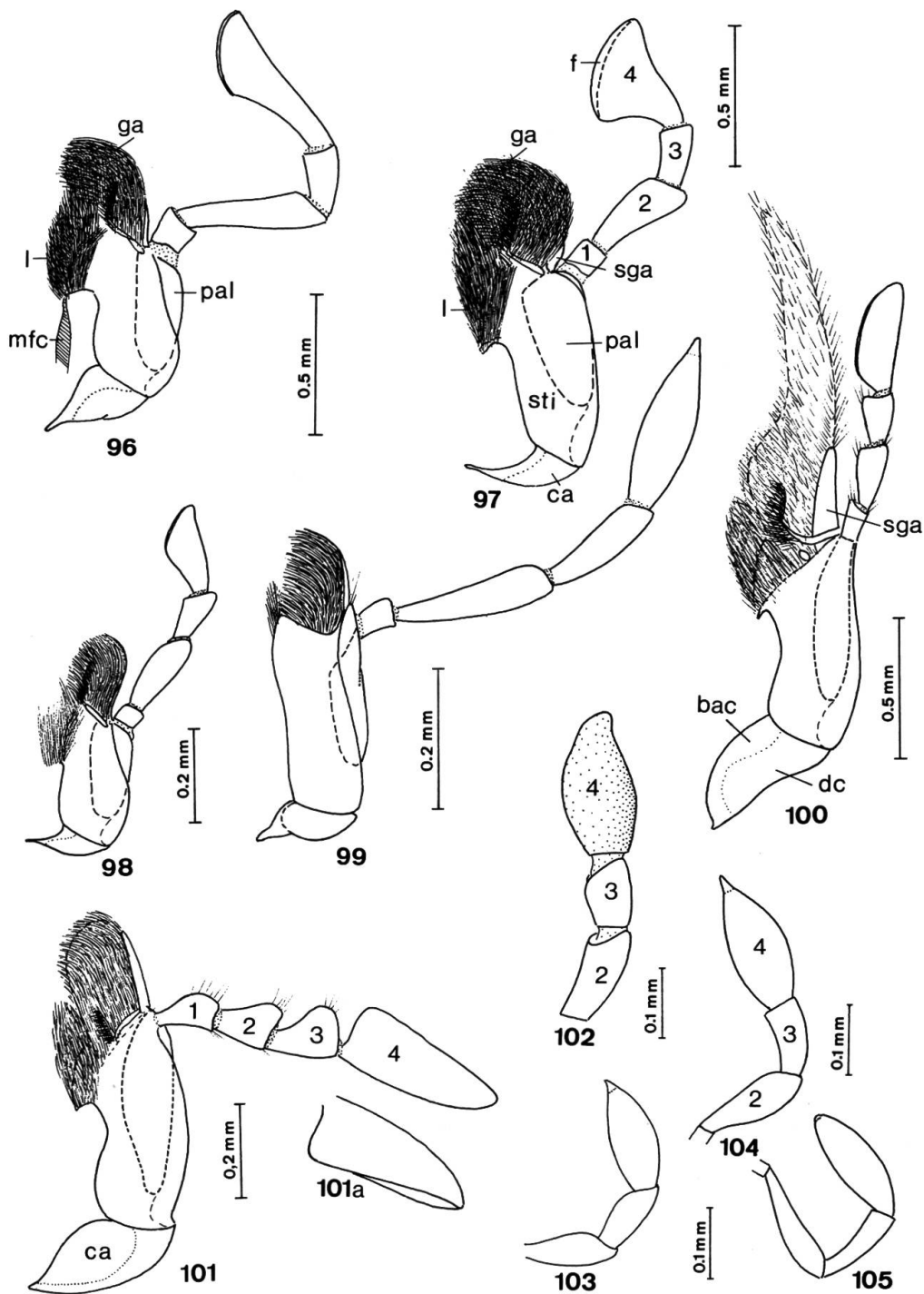
Figs 37–46: 37–41. Capsule céphalique de: 37, *Chauliognathus marginatus* (F.), vue dorsale. 38, Idem, vue ventrale. 39, *Ichthyurus lateralis* Westw., vue dorsale. 40, Idem, vue ventrale. 41, Idem, vue interne. 42–46. Tentorium droit de: 42, *Cantharis fusca* (L.). 43, *Podabrus alpinus* (Payk.). 44, *Podabrus procerulus* Kiesw. 45, *Rhagonycha fulva* (Scop.). 46, *Silidius senegalensis* (Cast.).



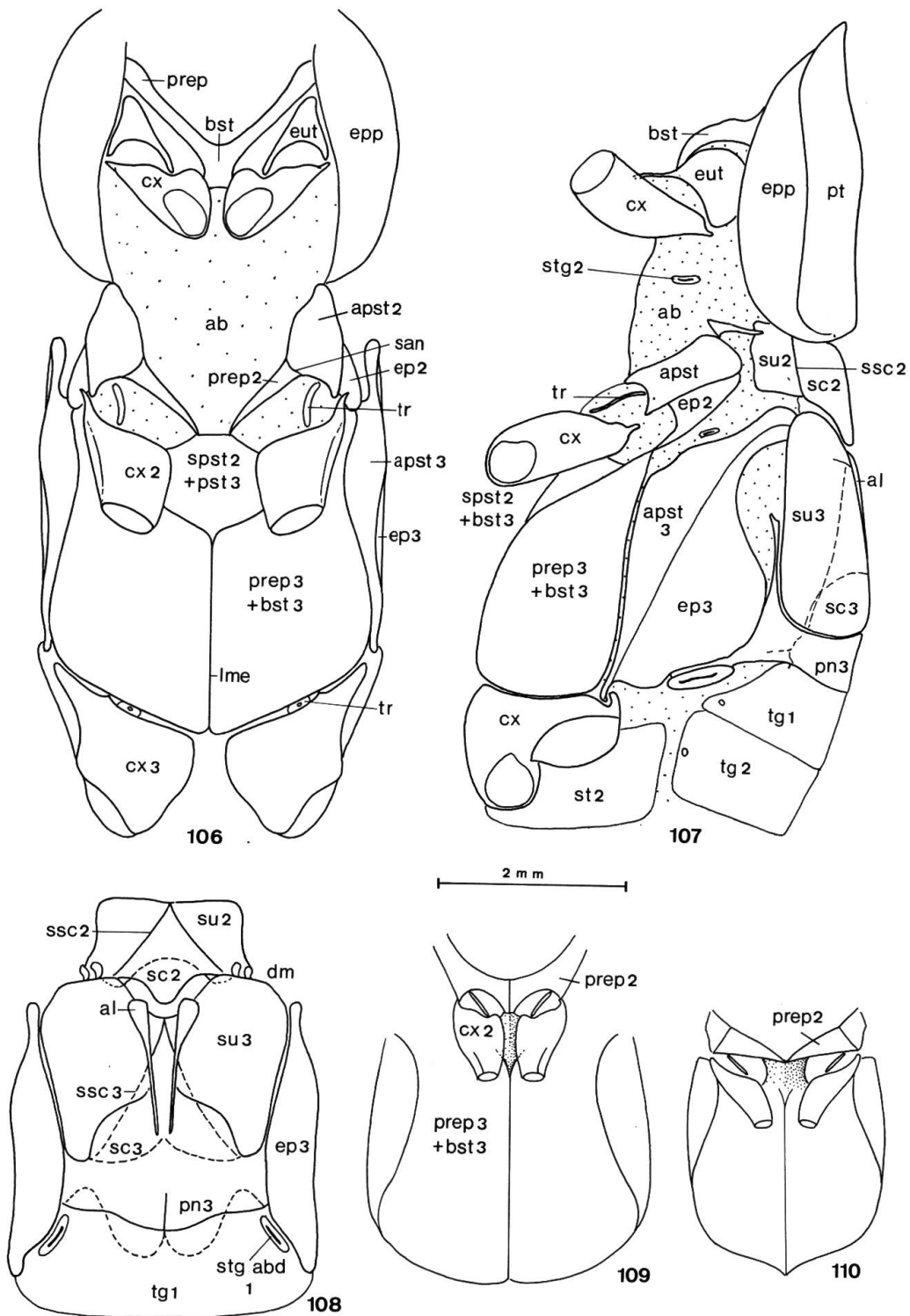
Figs 47–63: 47–52. Tentorium de: 47, *Indopolemius dimidiatus* (F.). 48, *Silis nitidula* (F.). 49, *Malthinus conspicuus* Kiesw. 50, *Malthinus biguttatus* (L.). 51, *Malchinus tunicatus* Kiesw. 52, *Ichthyurus lateralis* Westw. 53–63. Antenne de: 53, *Kandyosilis ocellata* Wittmer ♂, articles 2–6. 54, *Heteromastix archboldi* Wittmer ♂, articles 8–11. 55, *Heteromastix toxopeusi* Wittmer ♂, articles 8–11 + 12. 56, *Silis nitidula* (F.) ♂, articles 7–8. 57, *Asiosilis birmanica* (Pic) ♂, articles 4–11. 58, *A. cochleata* Wittmer ♂, articles 8–11. 59, *A. infrapunctata* Wittmer ♂, articles 6–11, partie inférieure. 60, *A. monstrosicornis* (Pic) ♂, articles 1–9. 61, *Prosthaptus globulipygus* Wittmer ♂, articles 1–11. 62, *P. luteosignatus* (Pic) ♂, articles 7–9. 63, Idem ♀, articles 7–9.



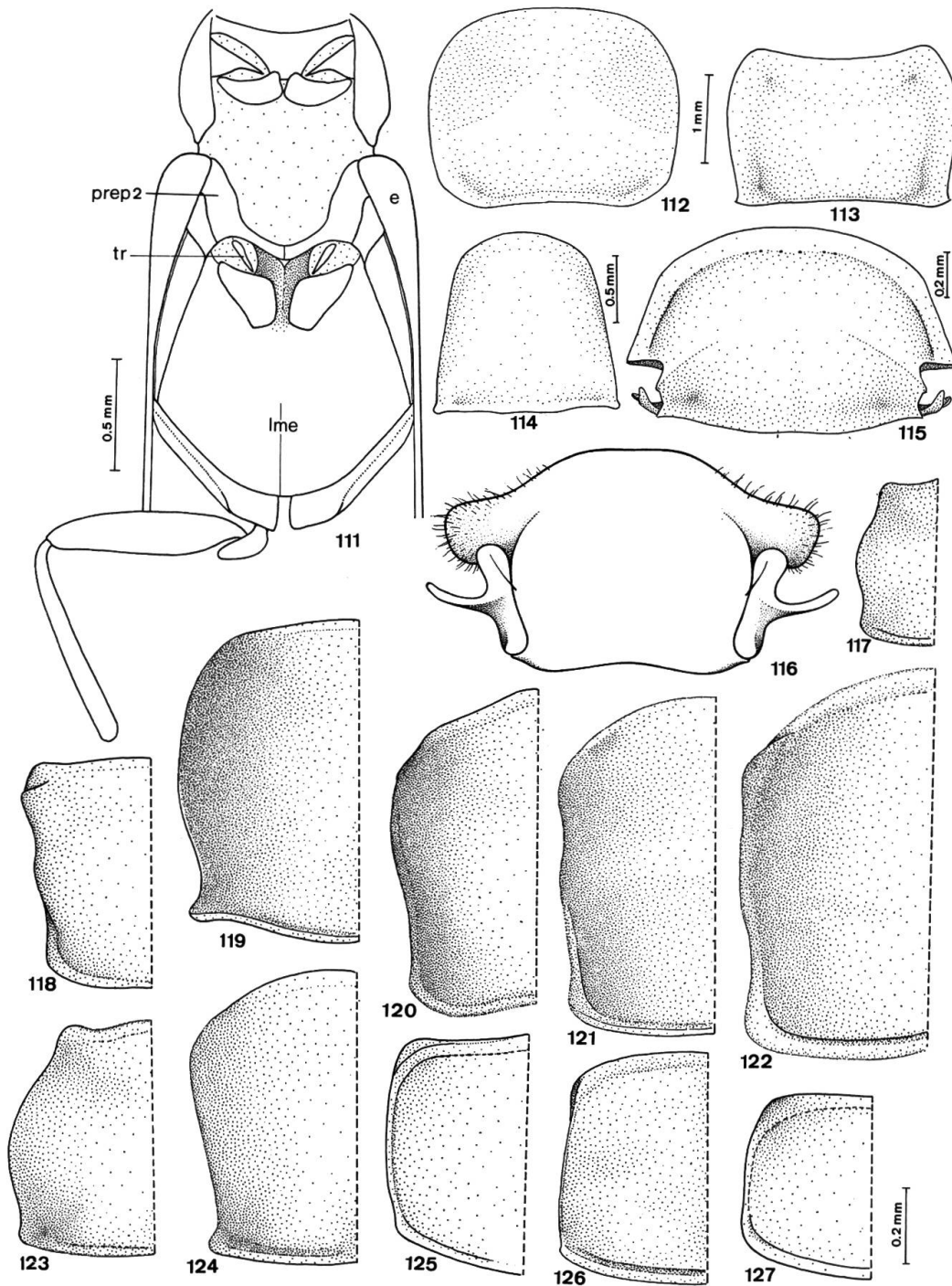
Figs 64–95: Mandibles de: 64, *Cantharis fusca* (L.). 65, *Podabrus alpinus* (Payk.). 66, *Rhagonycha fulva* (Scop.). 67, *Silis nitidula* (F.). 68, *Malthinus conspicuus* Kiesw. 69, *M. flaveolus* (Herbst). 70, *M. anselmoi* Wittmer. 71, *M. luteus* (Pic). 72, *M. rubricollis* Baudi. 73, *M. scriptus* Kiesw. 74, *M. duplolineatus* Champ. 75, *M. turcicus* Pic. 76, *Malthinellus bicolor* Kiesw. 77, *Falsomalthinus pallidus* Pic. 78, *Mimomalthinus niger* Pic. 79, *Caccodes cienfuegosensis* Wittmer. 80, *C. granicollis* (Fender). 81, *Malthodes marginatus* (Latr.). 82, *M. trifurcatus* Kiesw. 83, *M. hexacanthus* Kiesw. 84, *M. dimidiaticollis* (Rosh.). 85, *Inmalthodes* sp. 86, *Frostia impressa* Fender. 87, *F. laticollis* (Lec.). 88, *F. bhutanensis* (Wittmer). 89, *Maltypus reductocarinatus* Wittmer. 90, *Prosthaptus luteosignatus* (Pic). 91, *Malchinus obscuripes* Pic. 92, *Belotus abdominalis* (Lec.). 93, *Chauliognathus marginatus* (F.). 94, *Idem*, vue latérale. 95, *Ichthyurus lateralis* Westw. Toutes les figures sont à la même échelle, à l'exception des figures 93 et 94.



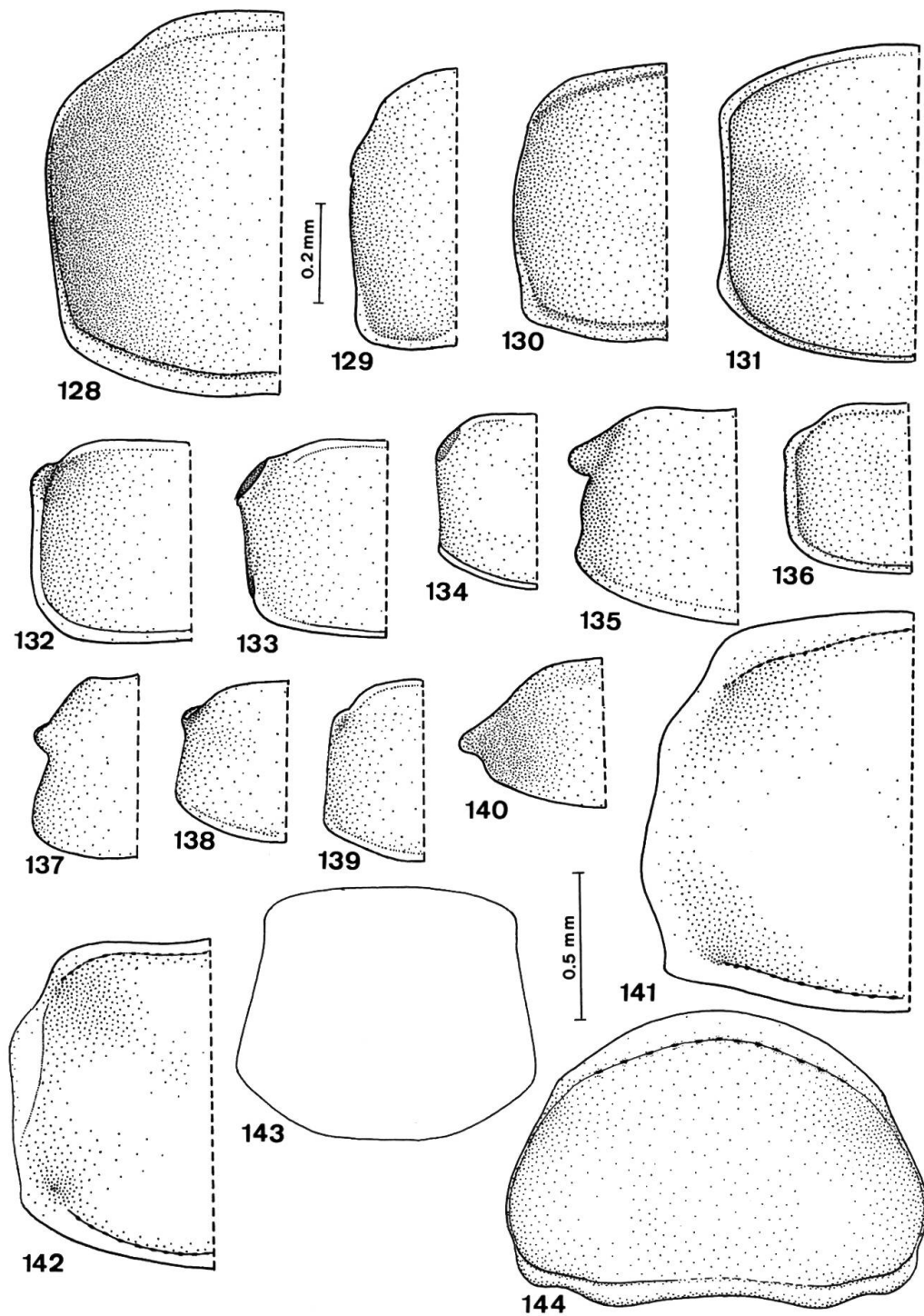
Figs 96–105: 96–101. Maxille droite de: 96, *Podabrus alpinus* (Payk.). 97, *Cantharis fusca* (L.). 98, *Silis nitidula* (F.). 99, *Malthinus flaveolus* (Herbst). 100, *Chauliognathus marginatus* (F.). 101, *Ichthyurus lateralis* Westw. 101a, Idem, quatrième article des palpes maxillaires en vue ventrale. 102–105. Palpe maxillaire droit de: 102, *Dysmorphocerus dilaticornis* (Guér.). 103, *Malchinus sinuatocollis* (Kiesw.). 104, *Malthinus luteus* (Pic). 105, *Falsomalthinus pallidus* Pic.



Figs 106–110: 106–108. Thorax de: 106, *Chauliognathus profundus* Lec., vue ventrale. 107, Idem, vue latérale, 108, Idem, mésonotum et métanotum. 109–110. Mésosternum et métasternum de: 109, *Podabrus alpinus* (Payk.). 110, *Ichthyurus lateralis* Westw., vue ventrale.

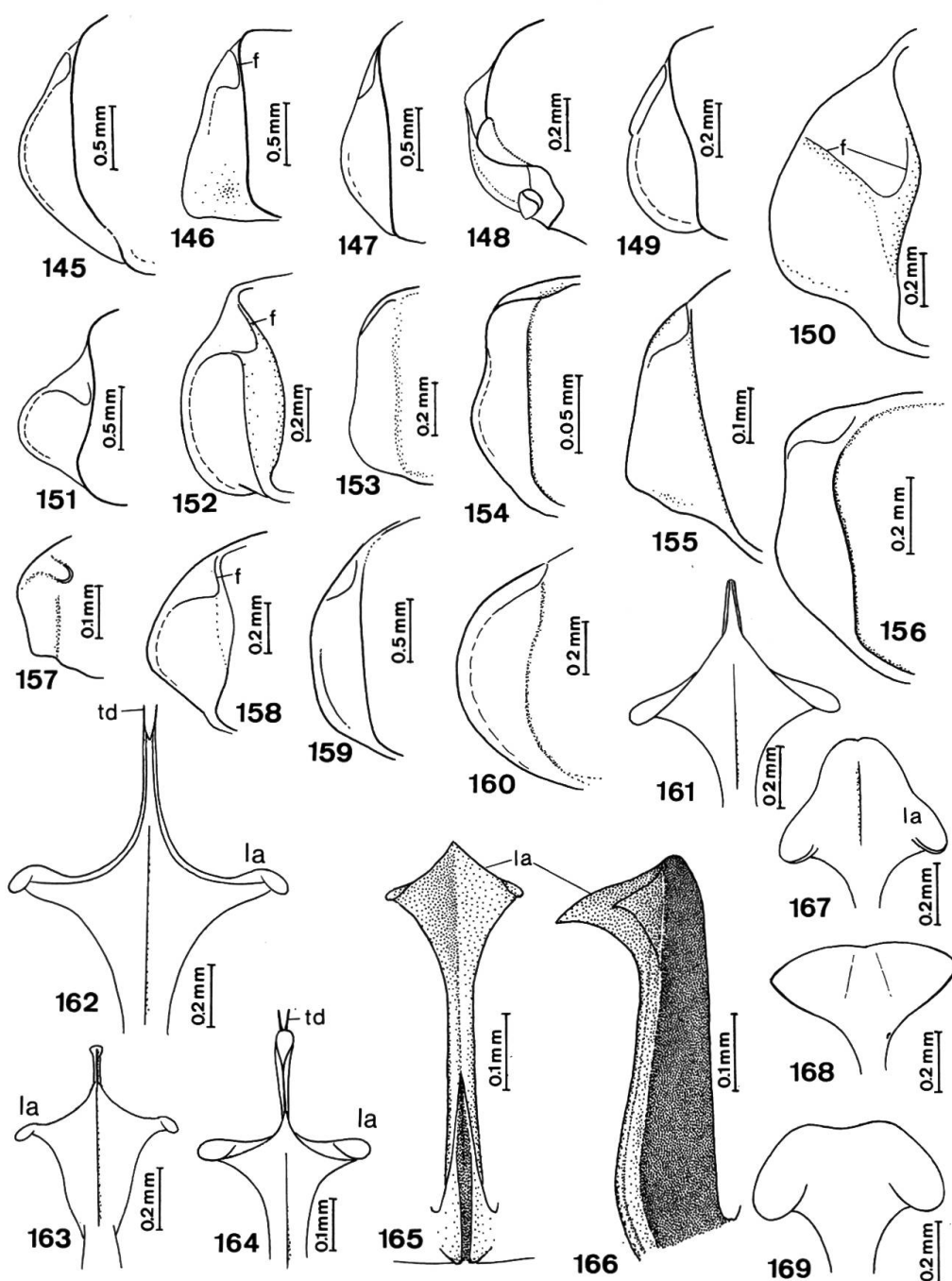


Figs 111–127: 111, Thorax de *Malchinus sinuaticollis* (Kiesw.), vue ventrale. 112–127. Pronotum de: 112, *Cantharis fusca* (L.). 113, *Podabrus alpinus* (Payk.). 114, *Rhagonycha fulva* (Scop.). 115, *Silis nitidula* (F.), ♂. 116, *S. acrensis* Wittmer, ♂. 117, *Malthinus turcicus* Pic. 118, *M. (Indomalthinus) multinotatus* (Pic). 119, *M. pseudobiguttatus* Constantin. 120, *M. luteus* (Pic). 121, *M. rubricollis* Baudi. 122, *M. conspicuus* Kiesw. 123, *M. seriopunctatus* Kiesw. 124, *M. flaveolus* (Herbst). 125, *M. anselmoi* Wittmer. 126, *Mimomalthinus niger* Pic. 127, *Caccodes granicollis* (Fender). La figure 113 est à la même échelle que la figure 112; 116 que 115; 117–126 que 127.



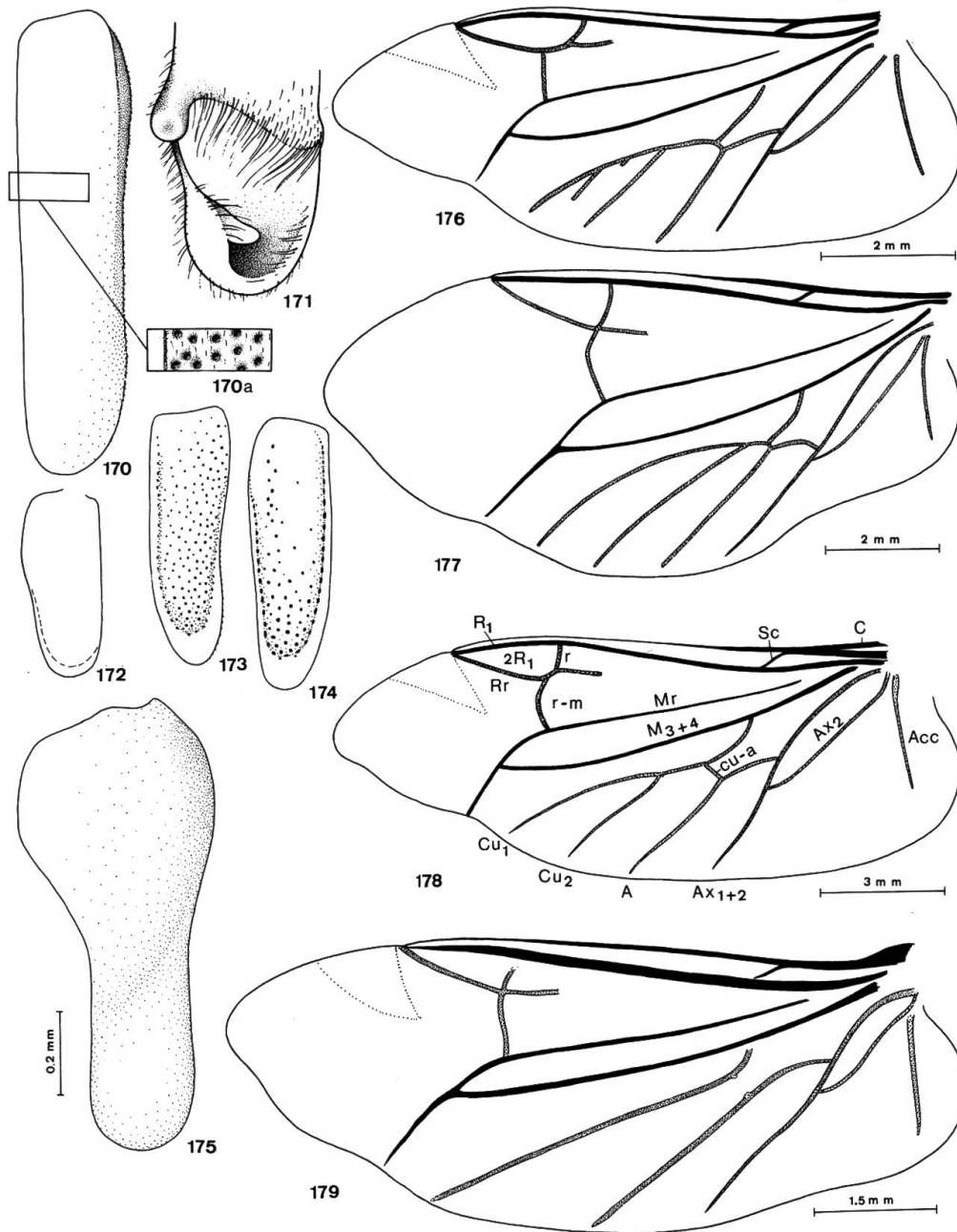
Figs 128–144: Pronotum de: 128, *Caccodes cienfuegosensis* Wittmer. 129, *Falsomalthinus pallidus* Pic. 130, *Malthinellus bicolor* Kiesw. 131, *Malthodes trifurcatus* Kiesw. 132, *M. marginatus* (Latr.). 133, *M. hexacanthus* Kiesw. 134, *M. dimidiaticollis* (Rosh.) 135, *Inmalthodes* sp. 136, *Frostia impressa* Fender. 137, *Maltypus niger* Motsch. 138, *M. reductocarinatus* Wittmer. 139, *Frostia bhutanensis* Wittmer. 140, *Prosthaptus luteosignatus* (Pic). 141, *Malchinus tunicatus* Kiesw. 142, *M. obscuripes* Pic 143, *Belotus obscurior* Pic. 144, *Ichthyurus lateralis* Westw. Toutes les figures sont à la même échelle que la figure 128, à l'exception de 143 et 144.



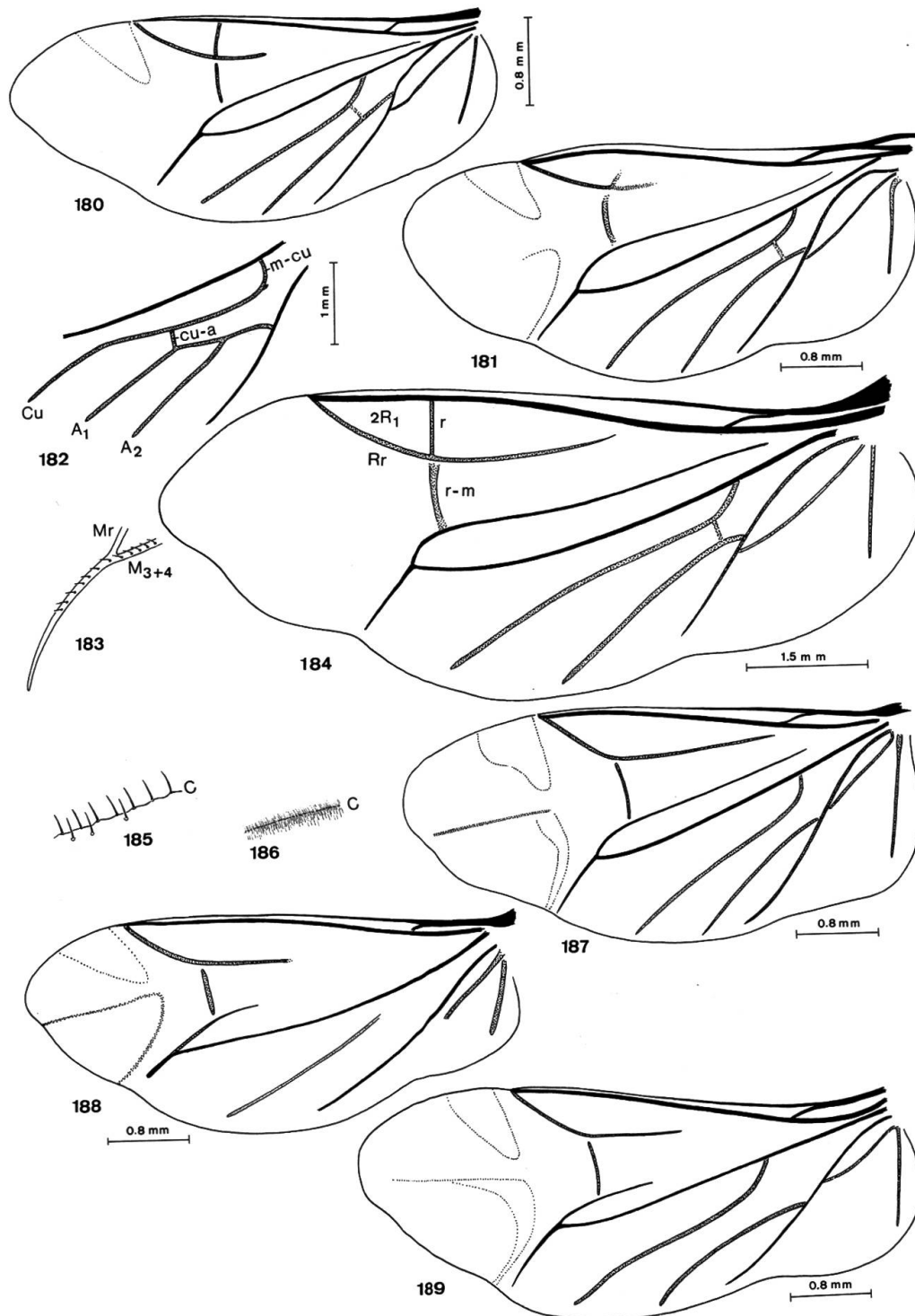


Figs 145–169: 145–160. Epipleure prothoracique droit de: 145, *Cantharis fusca* (L.). 146, *Podabrus alpinus* (Payk.). 147, *Rhagonycha fulva* (Scop.). 148, *Silis nitidula* (F.), ♂. 149, Idem, ♀. 150, *Silidius senegalensis* (Cast.). 151, *Indopolemius dimidiatus* (F.). 152, *Asilis kuscheli* Wittmer. 153, *Malthinus luteus* (Pic). 154, *M. bilineatus* Kiesw. 155, *Malthodes trifurcatus* Kiesw. 156, *Caccodes cienfuegosensis* Wittmer. 157, *Inmalthodes* sp. 158, *Malchinus obscuripes* Pic. 159, *Chauliognathus marginatus* (F.). 160, *Ichthyurus lateralis* Westw. 161–169. Métendosternite de: 161, *Podabrus alpinus* (Payk.). 162, *Cantharis fusca* (L.). 163, *Indopolemius dimidiatus* (F.). 164, *Silidius senegalensis* (Cast.). 165, *Malthinus seriepunctatus* Kiesw. 166, Idem, vue latérale. 167, *Chauliognathus marginatus* (F.). 168, *Ch. scriptus* (Germar). 169, *Ch. lugubris* (F.).

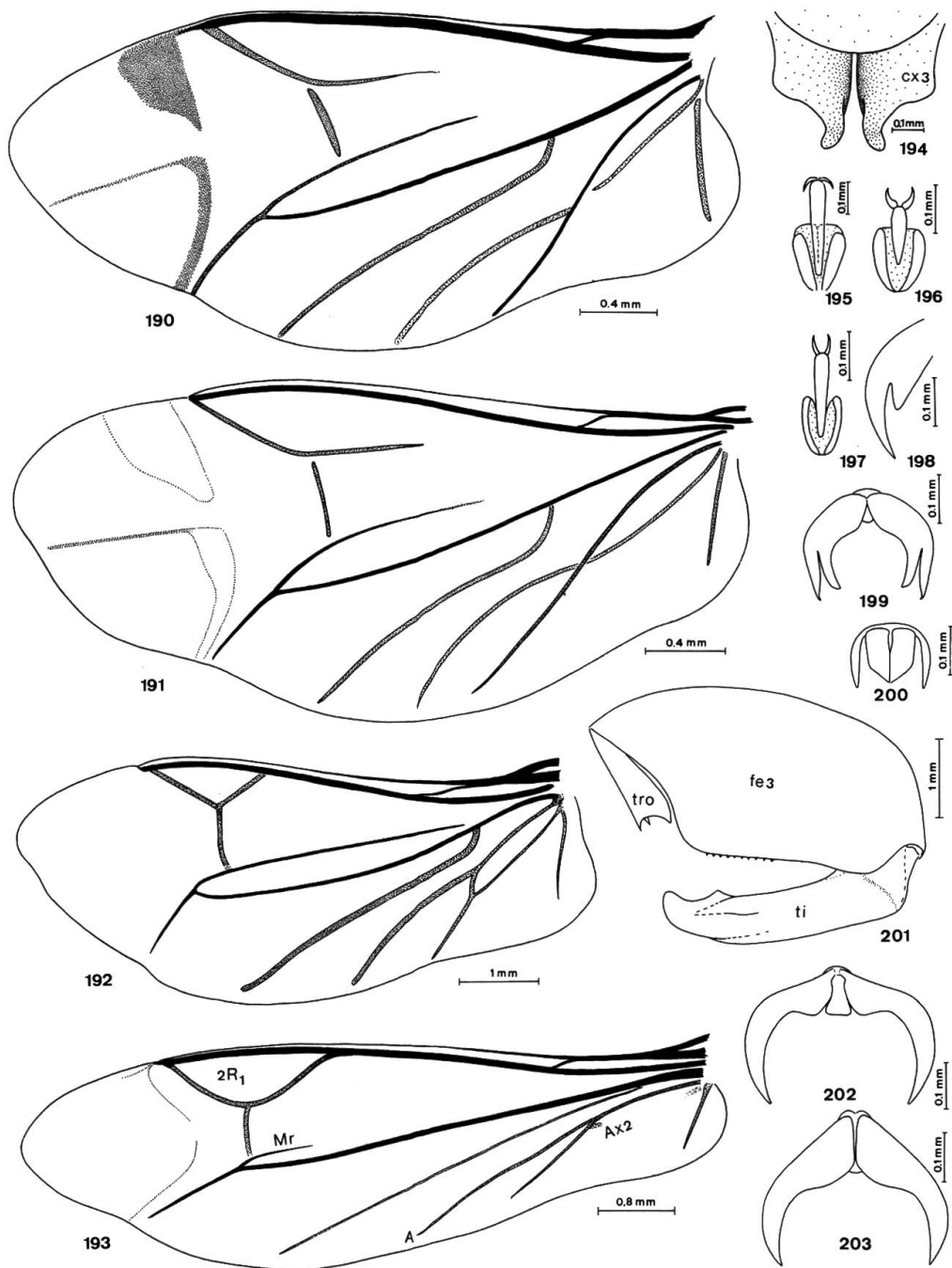




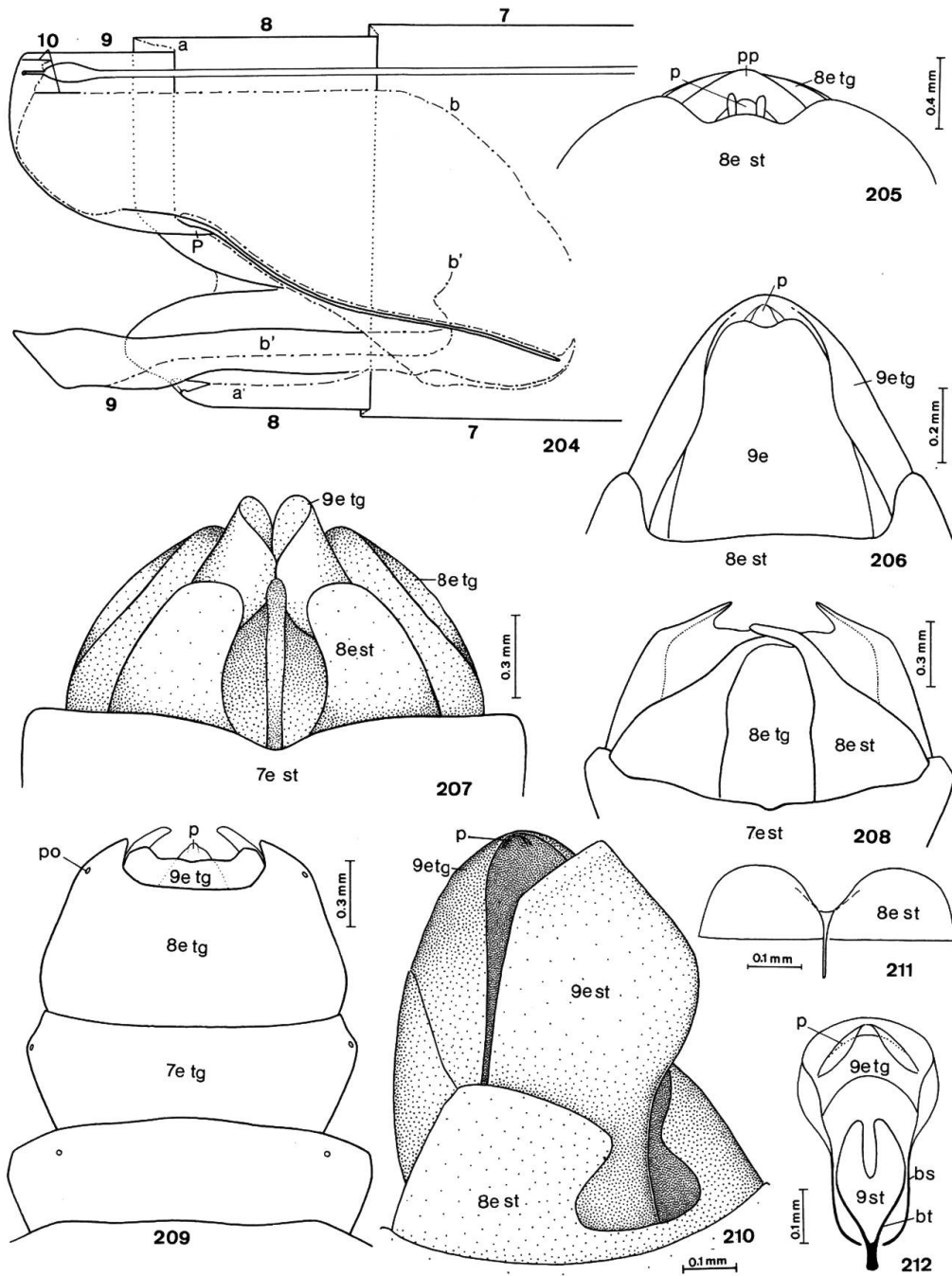
Figs 170–179: 170–175. Elytre de: 170, *Inmalthodes* sp., droit. 170a, Idem, détail. 171, *Paramaronius kraatzi* (Pic), droit. 172, *Falsomalthinus pallidus* Pic, droit. 173, *Maltypus niger* Motsch., droit. 174, *Prosthaptus luteosignatus* (Pic), gauche. 175, *Ichthyurus lateralis* Westw., droit. 176–179. Aile de: 176, *Cantharis tristis* F. 177, *Podabrus alpinus* (Payk.). 178, *Cantharis fusca* (L.). 179, *Indopolemius dimidiatus* (F.). Les figures 170–174 sont à la même échelle que la figure 175.



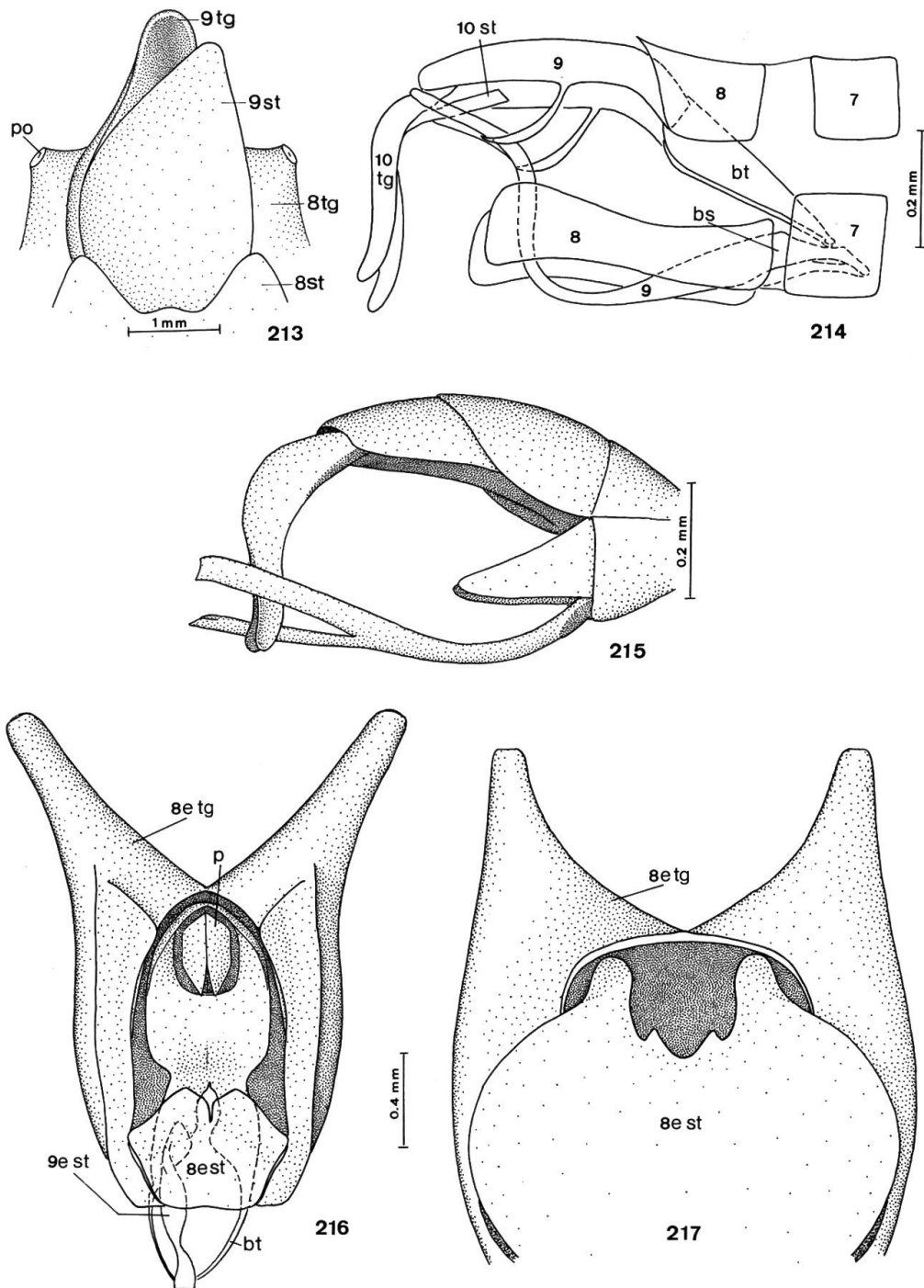
Figs 180–189: Aile de: 180, *Laemoglyptus* sp. 181, *Silis nitidula* (F.). 182, *Afronycha bivittata* (F.), détail. 183, *Malthodes berytensis* Reiche, détail. 184, *Silidius senegalensis* (Cast.). 185, *Malthodes berytensis* Reiche, détail. 186, *Cantharis fusca* (L.), détail. 187, *Malthinus flaveolus* (Herbst). 188, *Tytthonyx erythrocephalus* (F.). 189, *Malthodes marginatus* (Latr.).



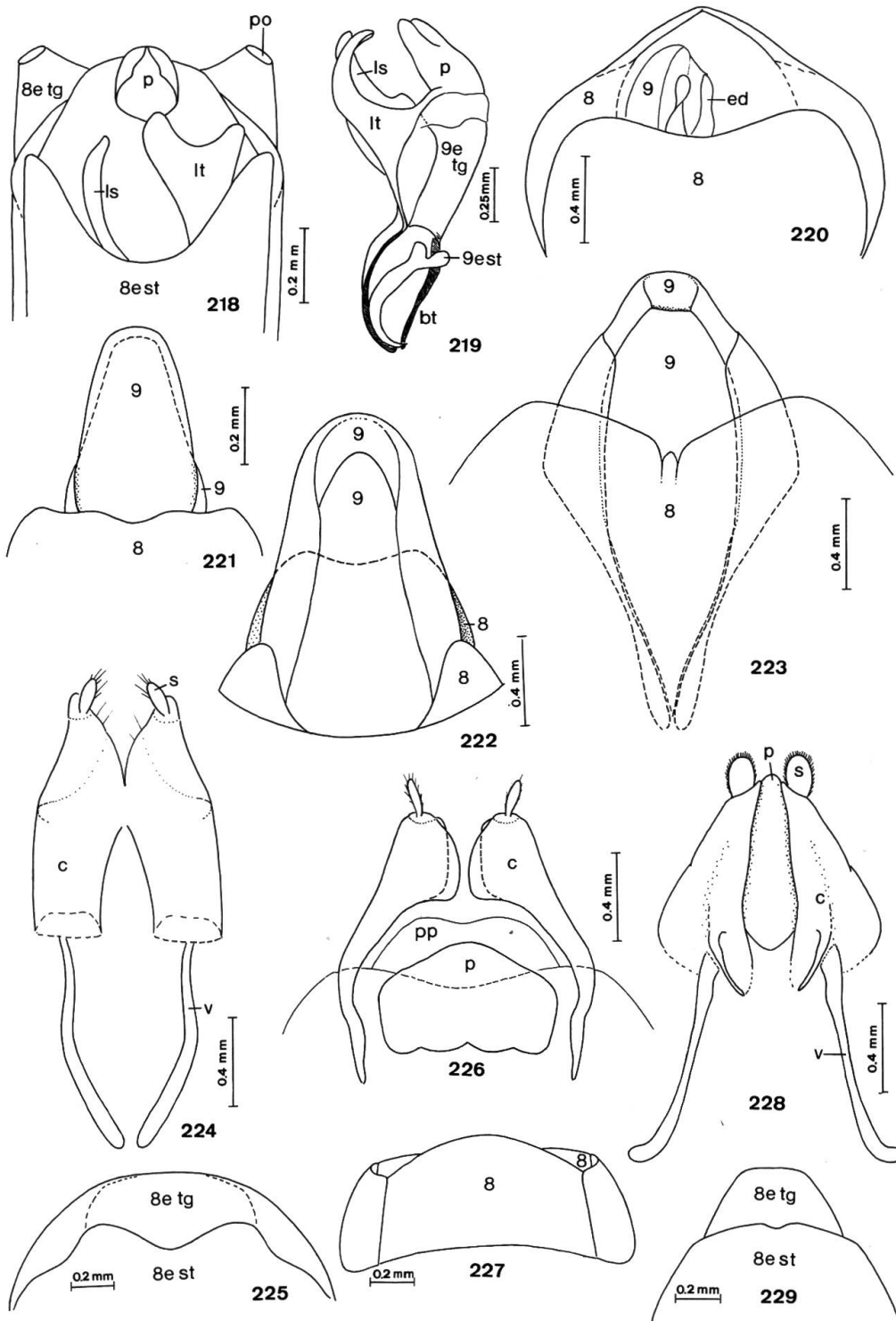
Figs 190–203: 190–193. Aile de: 190, *Malthinus* (*Indomalthinus*) *bhaktai* Brancucci. 191, *Malchinus sinuatocollis* (Kiesw.). 192, *Chauliognathus scriptus* (Germar). 193, *Ichthyurus lateralis* Westw. 194, Métacoxas de *Malthinus* (*Indomalthinus*) *coxalis* Brancucci. 195–198. Derniers articles des tarses de: 195, *Malthinus conspicuus* Kiesw. 196, *Malthodes trifurcatus* Kiesw. 197, *Prosthaptus luteosignatus* (Pic). 198–200. Ongles des tarses de: 198, *Cantharis obscura* L. 199, *Prodabrus alpinus* (Payk.). 200, *Ichthyurus lateralis* Westw. 201, Patte postérieure d'*Ichthyurus lateralis* Westw. 202–203. Ongles des tarses de: 202, *Themus kumaonensis* Wittmer, 203, *Chauliognathus roseicollis* Wittmer.



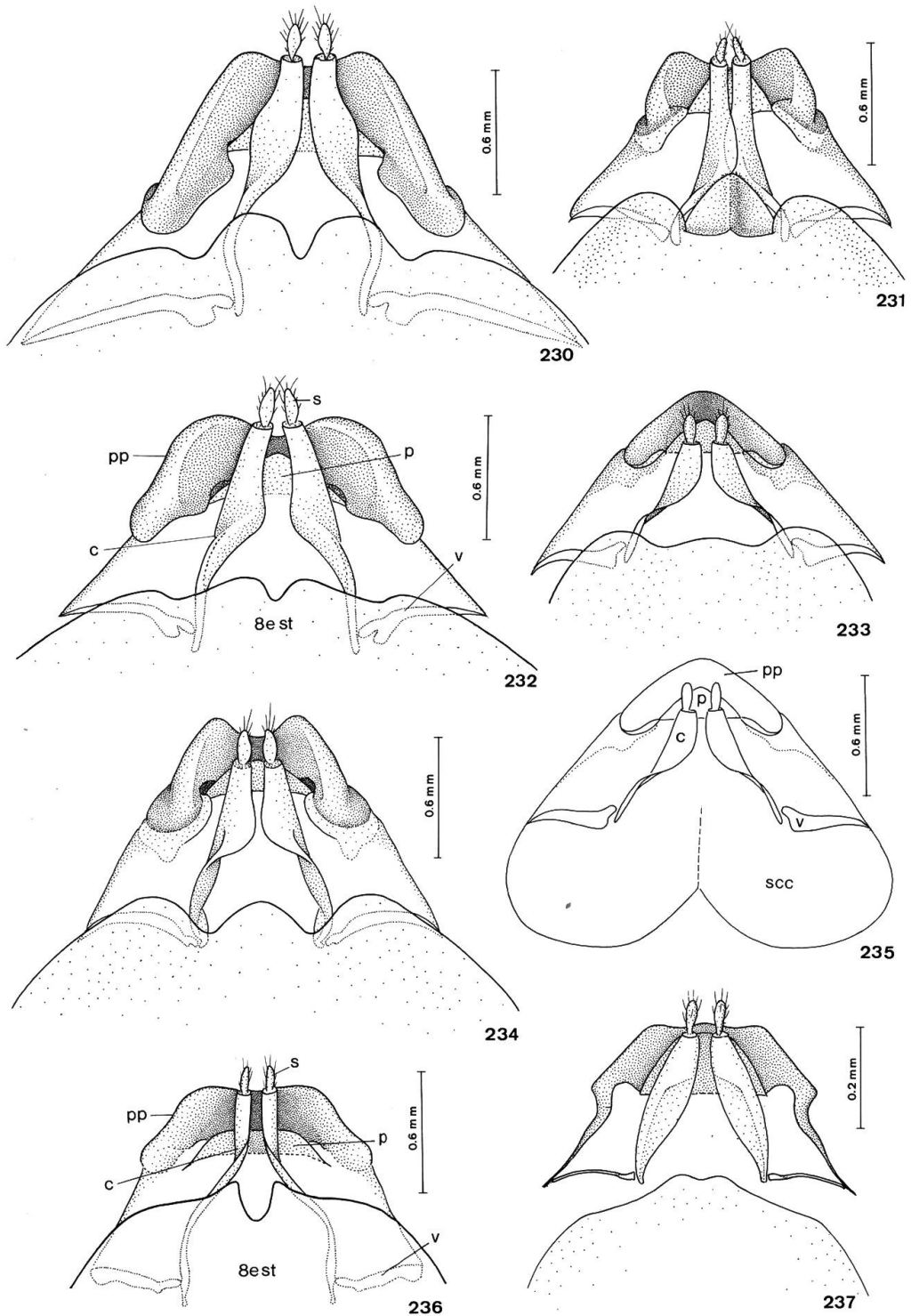
Figs 204–212: Derniers segments abdominaux de: 204, *Rhagonycha fulva* (Scop.) ♂, schéma (d'après MAGIS, 1963). 205, Idem ♀, vue ventrale. 206, Idem ♂, vue ventrale. 207, *Callosonotatum cordicolle* (Pic) ♂, vue ventrale. 208, *Asiosilis birmanica* (Pic) ♂, vue ventrale. 209, Idem ♂, vue dorsale. 210, *Malthinus (Indomalthinus) bhaktai* Brancucci ♂, vue latérale. 211, *Maltypus reductocarinatus* Wittmer ♂, sternite IX, face interne. 212, *Frostia bhutanensis* (Wittmer) ♂, urite IX, vue ventrale.



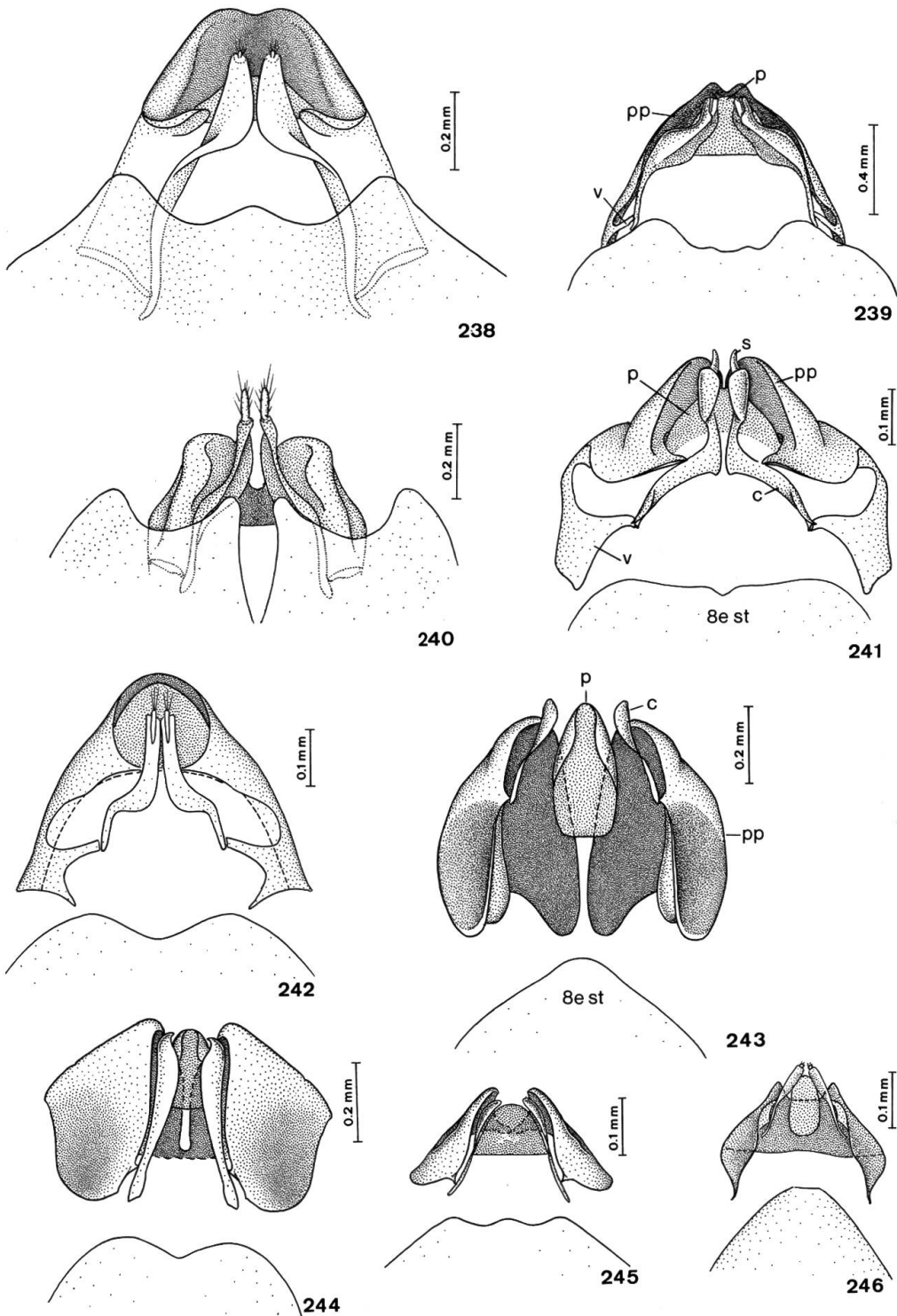
Figs 213–217: Derniers segments abdominaux de: 213, *Belotus abdominalis* (Lec.) ♂, vue ventrale. 214, *Malthodes spathifer* Kiesw. ♂, vue latérale. 215, *M. brevicornis* (Fiori) ♂, vue ventrale. 216, *Ichthyurus lateralis* Westw. ♂, vue ventrale. 217, Idem ♀, vue ventrale.



Figs 218–229: Derniers segments abdominaux de: 218, *Tryptherus niponicus* (Lew.) ♂, vue ventrale. 219, *T. nuristanicus* Wittmer ♂, vue latérale (d'après MAGIS, 1974). 220, *Lampyris noctiluca* L. ♂, vue ventrale. 221, *Drilus flavescens* Oliv. ♂, vue ventrale. 222, *Lycus palliatus* (F.) ♂, vue ventrale. 223, *Zarhipis integripennis* (Lec.) ♂, vue ventrale. 224, *Lampyris noctiluca* L. ♀, vue ventrale. 225, Idem ♀, vue ventrale. 226, *Drilus flavescens* Oliv. ♀, vue ventrale. 227, Idem ♀, vue ventrale. 228, *Lycus palliatus* (F.) ♀, vue ventrale. 229, Idem ♀, vue ventrale.

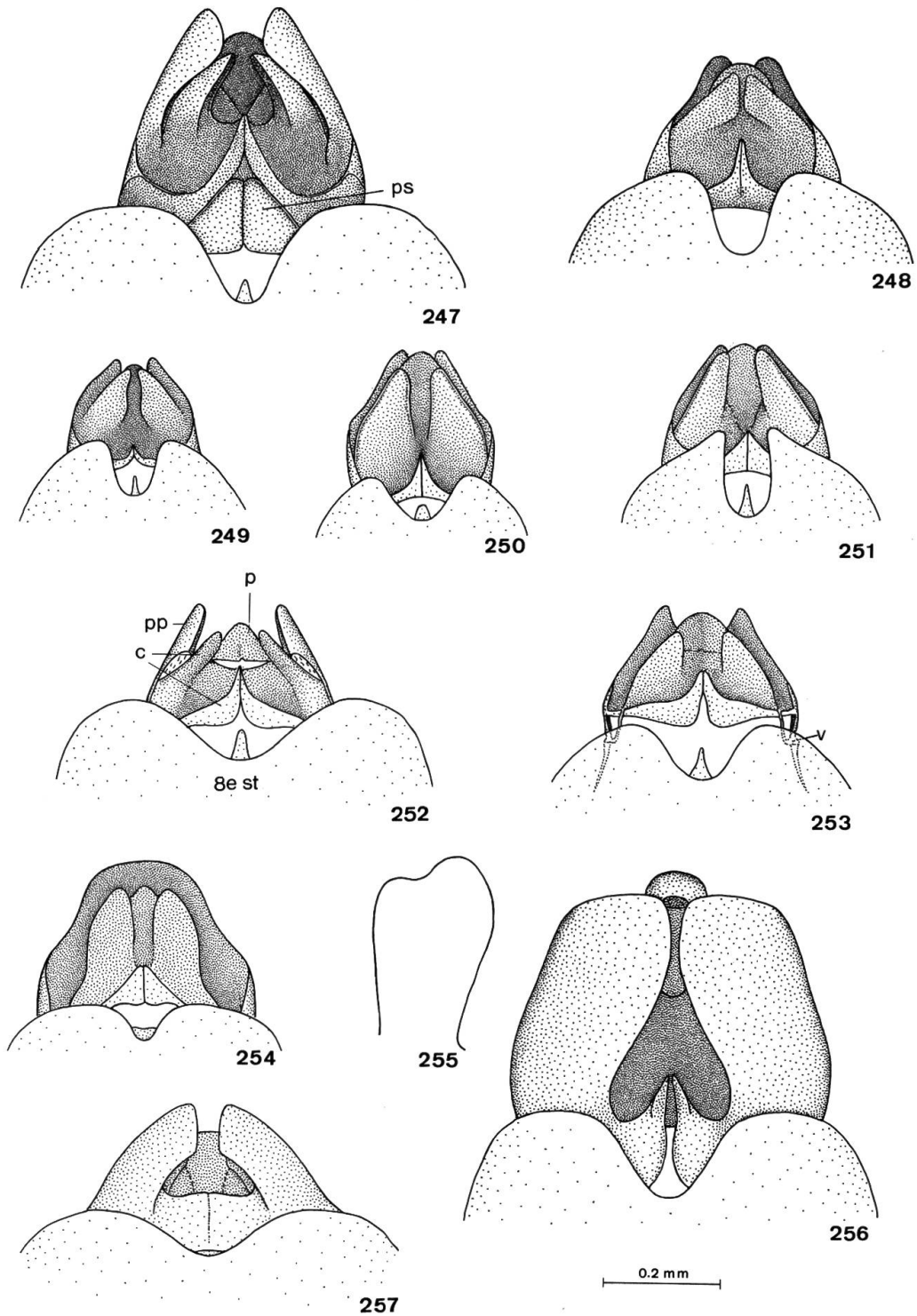


Figs 230–237: Segments génitaux ♀ en vue ventrale de: 230, *Cantharis fusca* (L.). 231, *C. tristis* F. 232, *C. rustica* Fallén. 233, *Rhagonycha fulva* (Scop.). 234, *Cantharis obscura* L. 235, *Rhagonycha fulva* (Scop.), schéma. 236, *Podabrus alpinus* (Payk.). 237, *Malchinomorphus longiceps* Pic.

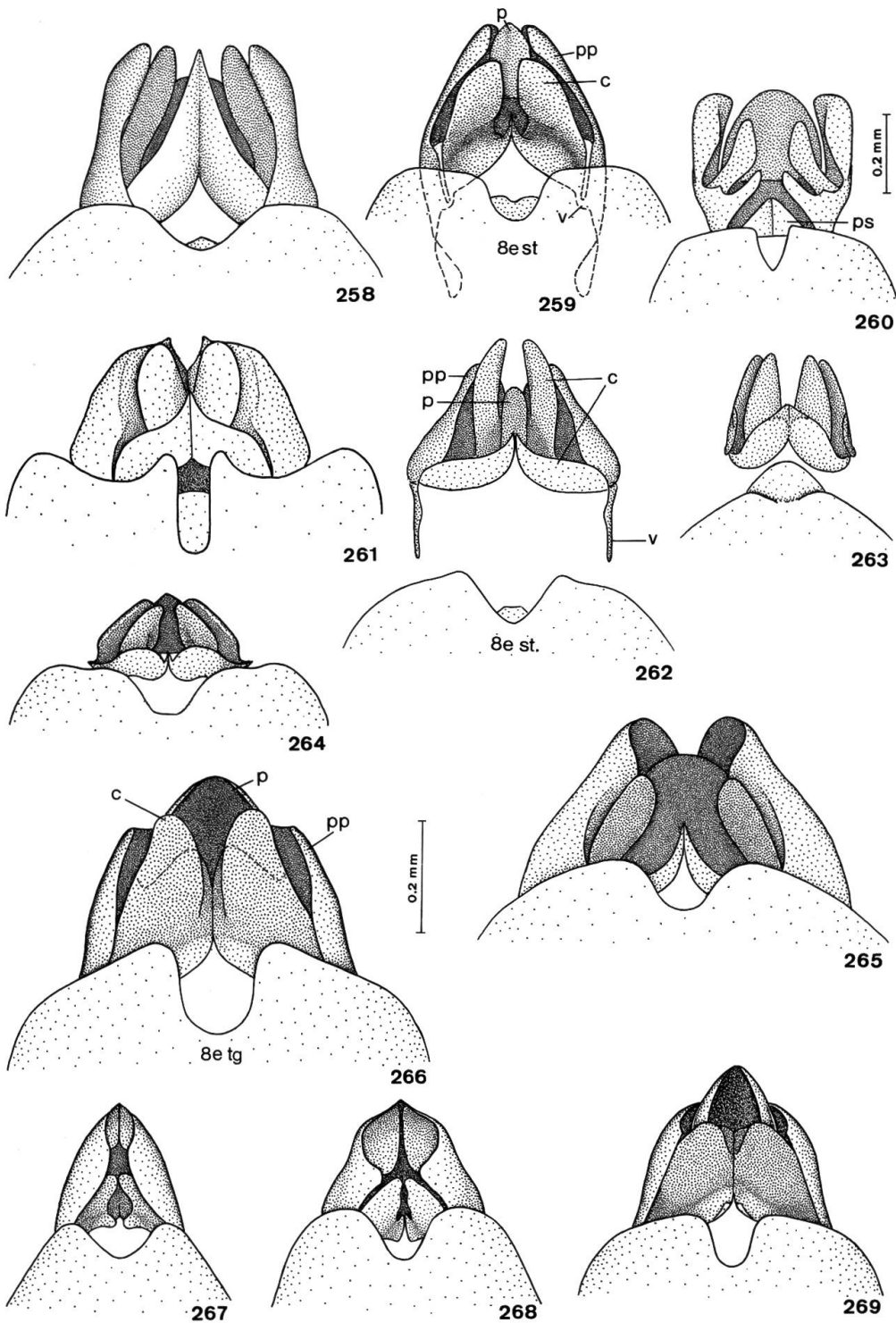


Figs 238–246: Segments génitaux ♀ en vue ventrale de: 238, *Indopolemius dimidiatus* (F.). 239, *Silis nitidula* (F.). 240, *Silidius senegalensis* (Cast.). 241, *Hyponotum albocinctum* (Pic). 242, *Oontelus* sp. 243, *Asilis sinuella* Broun. 244, *A. fulvithorax* (Broun). 245, *A. planata* Wittmer. 246, *Neoontelus striatus* (Broun).

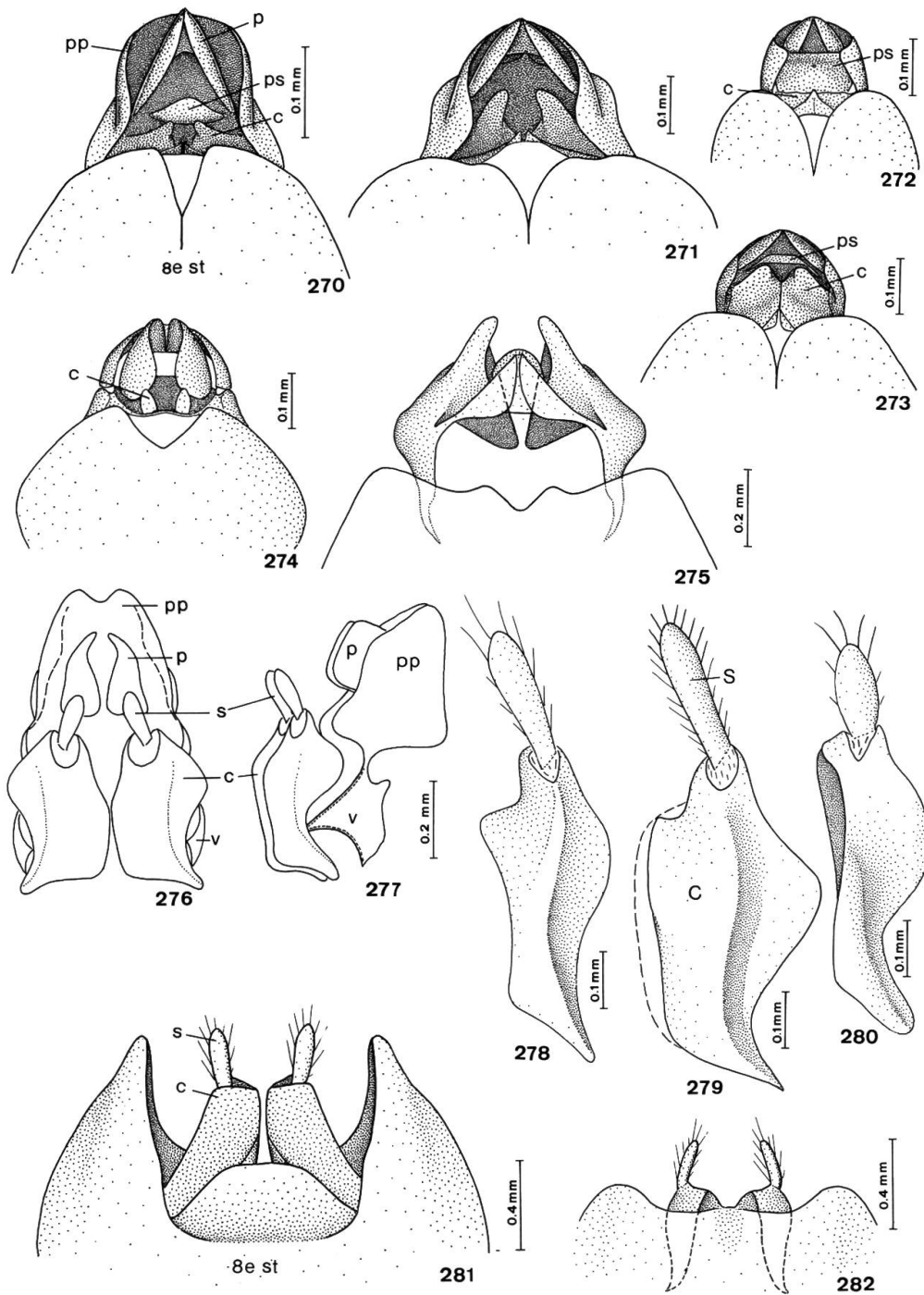




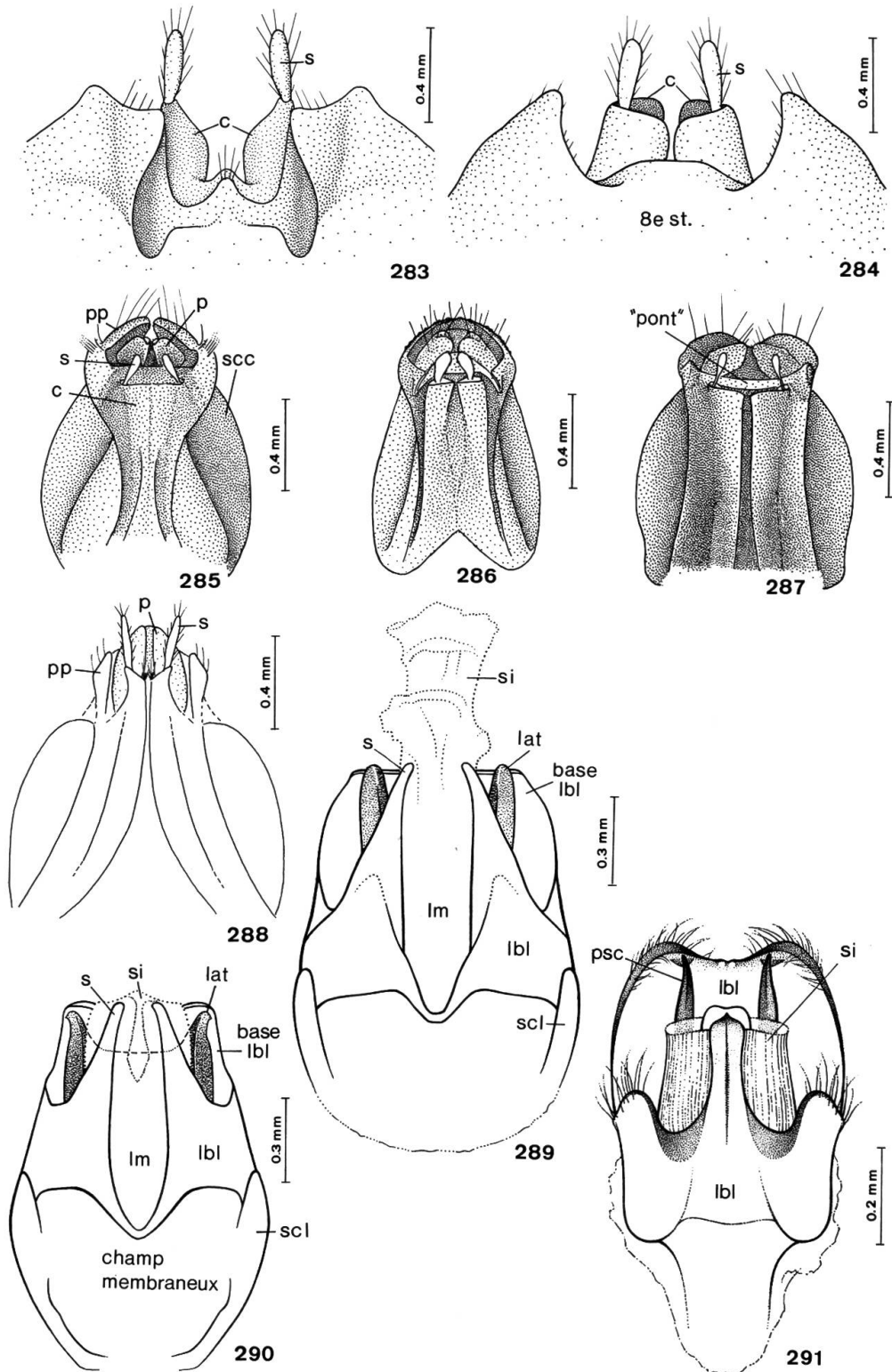
Figs 247–257: Segments génitaux ♀ en vue ventrale: 247, *Malthinus flaveolus* (Herbst). 248, *M. seriepunctatus* Kiesw. 249, *M. balteatus* Suffr. 250, *M. facialis* Thoms. 251, *M. fasciatus* (Oliv.). 252, *M. glabellus* Kiesw. 253, *M. turcicus* Pic. 254, *M. bilineatus* Kiesw. 255, *M. biguttatus* (L.), détail. 256, *M. pseudobiguttatus* Constantin. 257, *M. frontalis* (Marsh.).



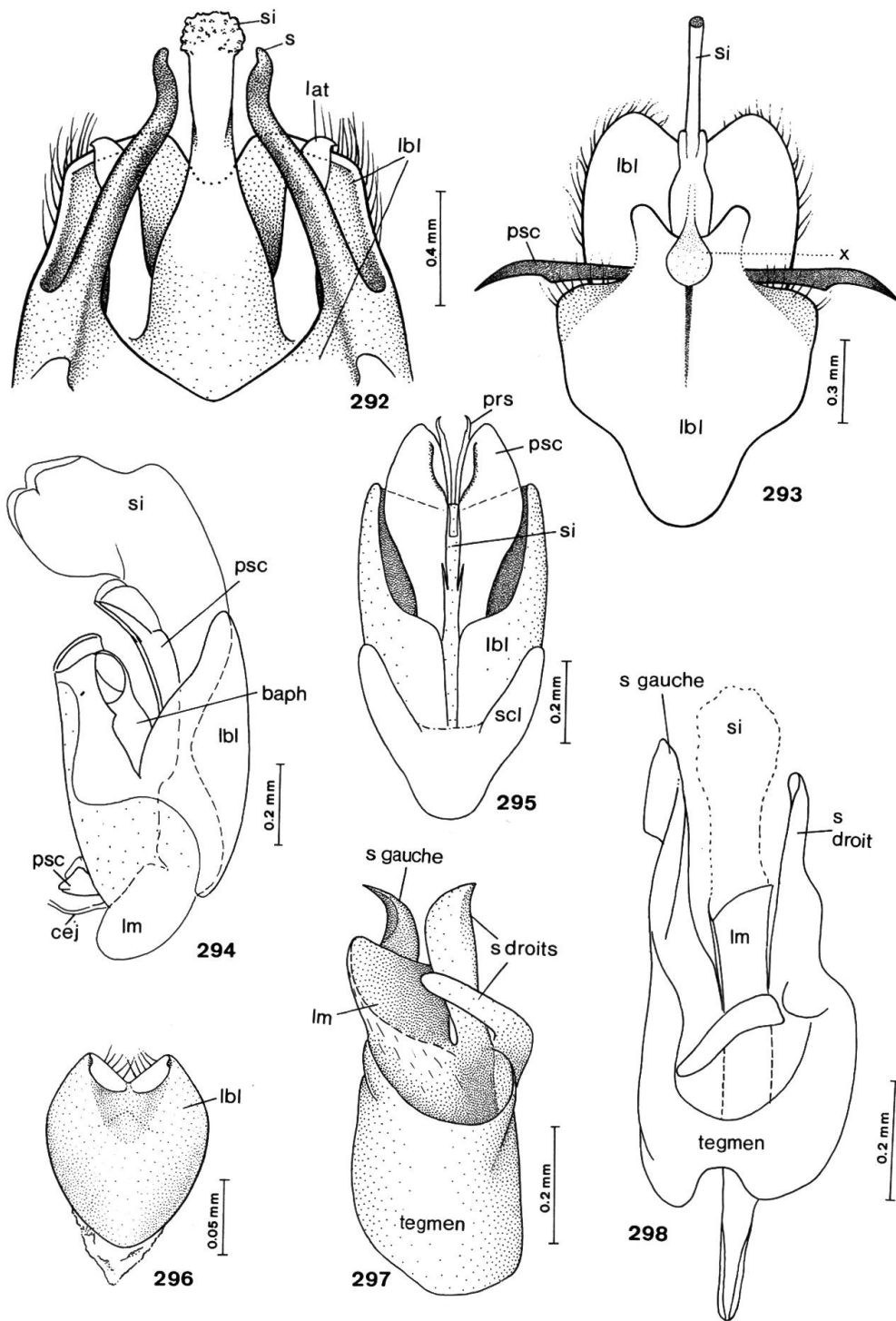
Figs 258–269: Segments génitaux ♀ en vue ventrale de: 258, *Malthinus conspicuus* Kiesw. 259, *M. scriptus* Kiesw. 260, *M. atritarsis* Constantin in litt. 261, *M. (Indomalthinus) multinotatus* (Pic). 262, *Malthinellus bicolor* Kiesw. 263, *Falsomalthinus pallidus* Pic. 264, *Caccodes granicollis* (Fender). 265, *Malthinus luteus* (Pic). 266, *Malthodes trifurcatus* Kiesw. 267, *M. dimidiaticollis* (Rosh.). 268, *M. hexacanthus* Kiesw. 269, *M. marginatus* (Latr.). Toutes les figures sont à la même échelle, à l'exception de la figure 260.



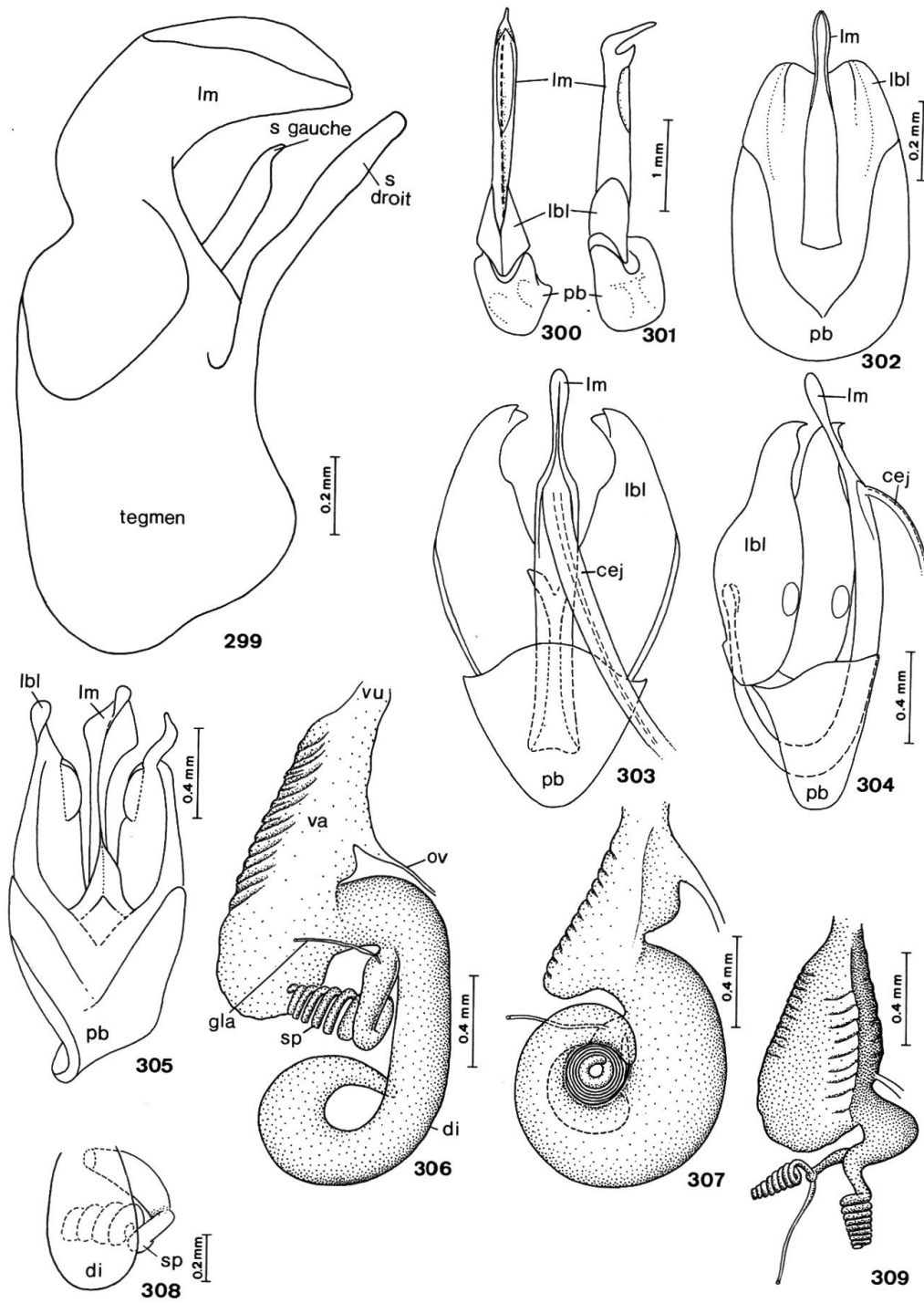
Figs 270–282: Segments génitaux ♀ en vue ventrale de: 270, *Frostia impressa* Fender. 271, *F. laticollis* (Lec.). 272, *Maltypus reductocarinatus* Wittmer. 273, *Frostia bhutanensis* (Wittmer). 274, *Prosthaptus luteosignatus* (Pic). 275, *Tytthonyx erythrocephalus* (F.). 276, *Belotus abdominalis* (Lec.), schéma en vue ventrale. 277, Idem, schéma en vue latérale. 278, *B. striaticollis* Brancucci, détail. 279, *B. obscurus* (Pic), détail. 280, *B. grandis* Brancucci, détail. 281, *Chauliognathus lugubris* (F.). 282, *Ch. marginatus* (F.).



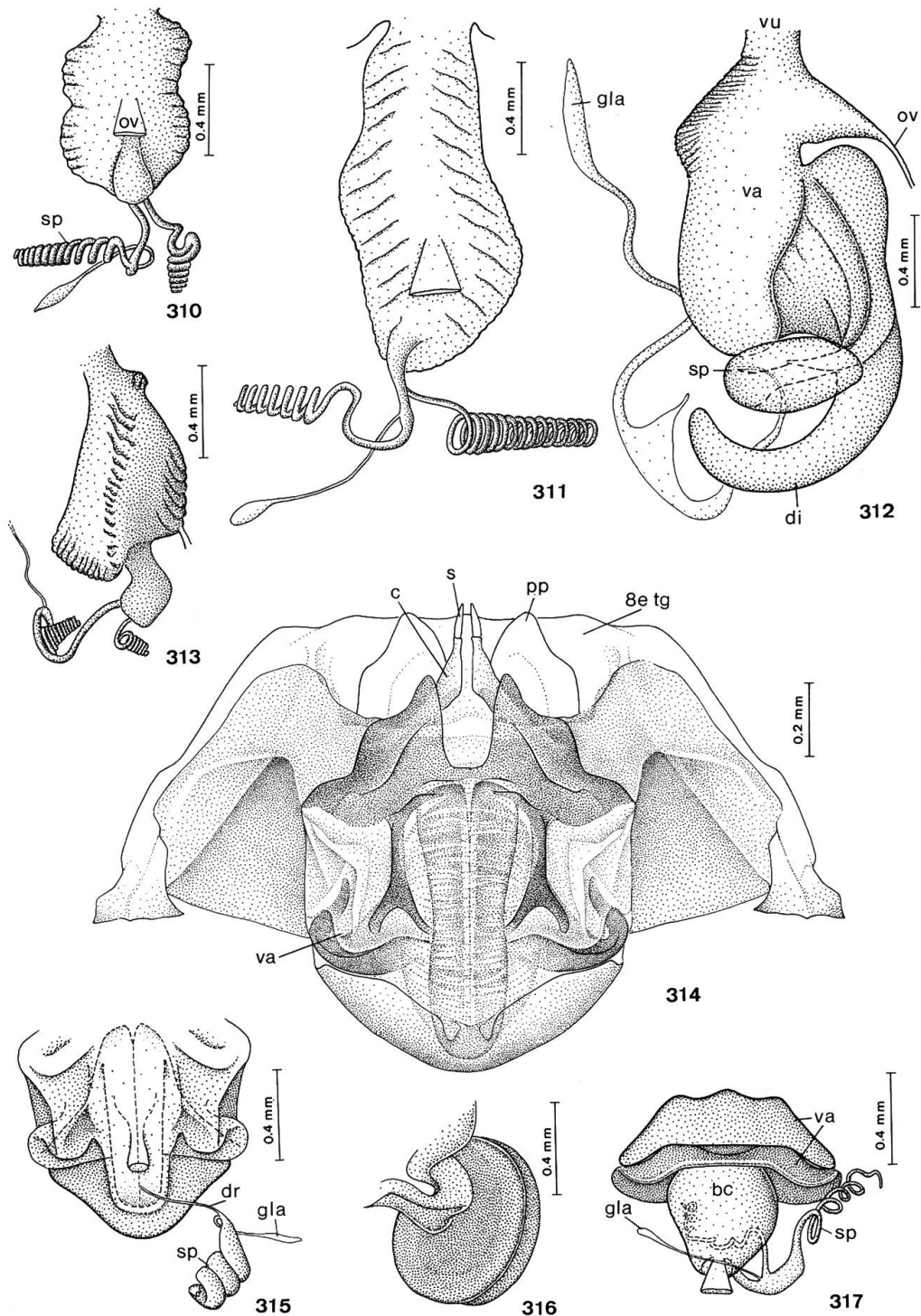
Figs 283–291: 283–288. Segments génitaux ♀ en vue ventrale de: 283, *Chauliognathus scriptus* (Germar). 284, *Ch. roseicollis* Wittmer. 285, *Ichthyurus lateralis* Westw. 286, *I. vandepolli* Gestro. 287, *I. laticauda* Gestro. 288, *Tryptherus latipennis* (Germar). 289–291. Edéage ♂ en vue ventrale de: 289, *Metacantharis turcica* (Mars.). 290, *M. keiseri* Wittmer. 291, *Sphaerarthrum pusillum* Wittmer.



Figs 292–298: Edéage ♂ de: 292, *Themus hobsoni* ssp. *tenuilimbatus* Wittmer, vue ventrale. 293, *Sphaerarthrum carbonitinctum* Wittmer, vue ventrale. 294, *Silis nitidula* (F.), vue latérale. 295, *Dysmorphocerus dilaticornis* (Guér.), vue dorsale. 296, *Maltypus bakeri* Wittmer, vue ventrale. 297, *Belotus abdominalis* (Lec.), vue ventrale. 298, *Ichthyurus lateralis* West., vue ventrale.

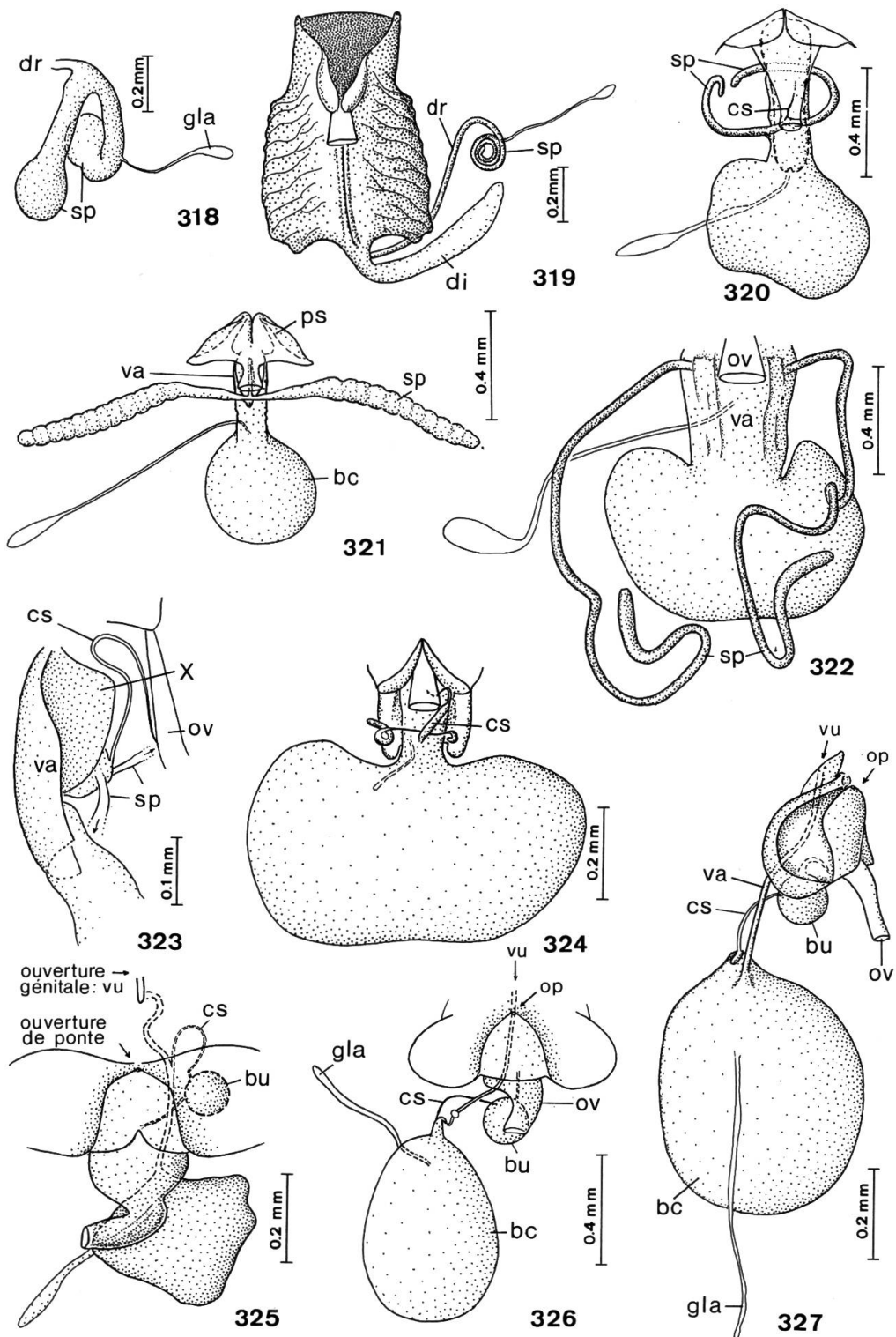


Figs 299–309: 299–305. Édage ♂ de: 299, *Chauliognathus marginatus* (F.), vue latérale. 300, *Lycus palliatus* (F.), vue ventrale. 301, Idem, vue latérale. 302, *Drilus flavescens* Oliv., vue ventrale. 303, *Zarhipis integripennis* (Lec.), vue ventrale. 304, Idem, vue latérale. 305, *Lampyris noctiluca* L., vue ventrale. 306–309. Voies génitales ♀ de: 306, *Cantharis fusca* (L.), vue latérale. 307, *C. rustica* Fallén, vue latérale. 308, Idem, détail en vue ventrale. 309, *C. tristis* F., vue latérale.



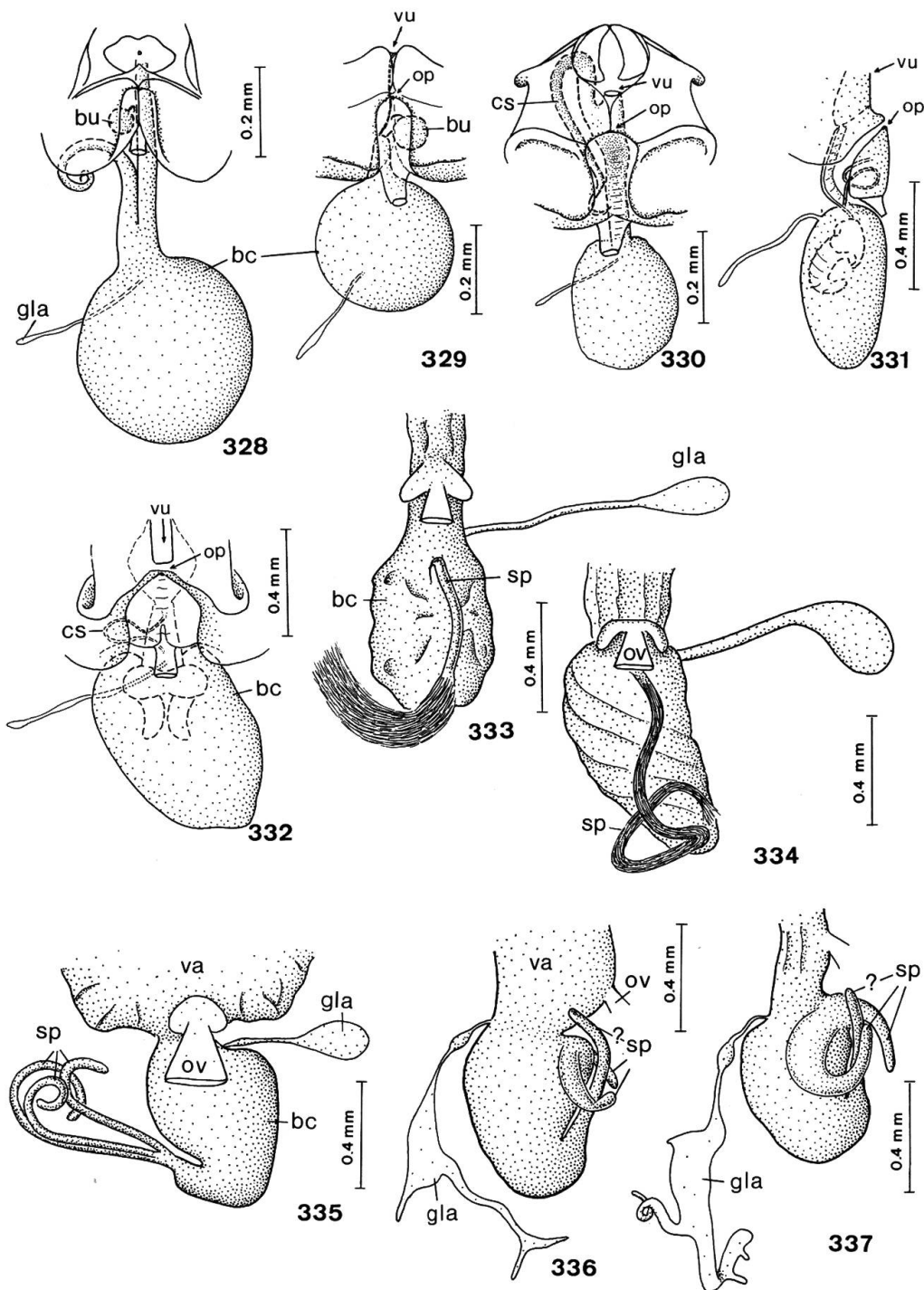
Figs 310–317: Voies génitales ♀ de: 310, *Cantharis obscura* L., vue ventrale. 311, *Podabrus alpinus* (Payk.), vue ventrale. 312, *Themus kumaonensis* Wittmer, vue latérale. 313, *Rhagonycha fulva* (Scop.), vue latérale. 314, *Silidius senegalensis* (Cast.), vue ventrale en place dans les segments génitaux. 315, Idem, vue ventrale. 316, Idem, détail. 317, *Silidius nitidula* (F.), vue ventrale.



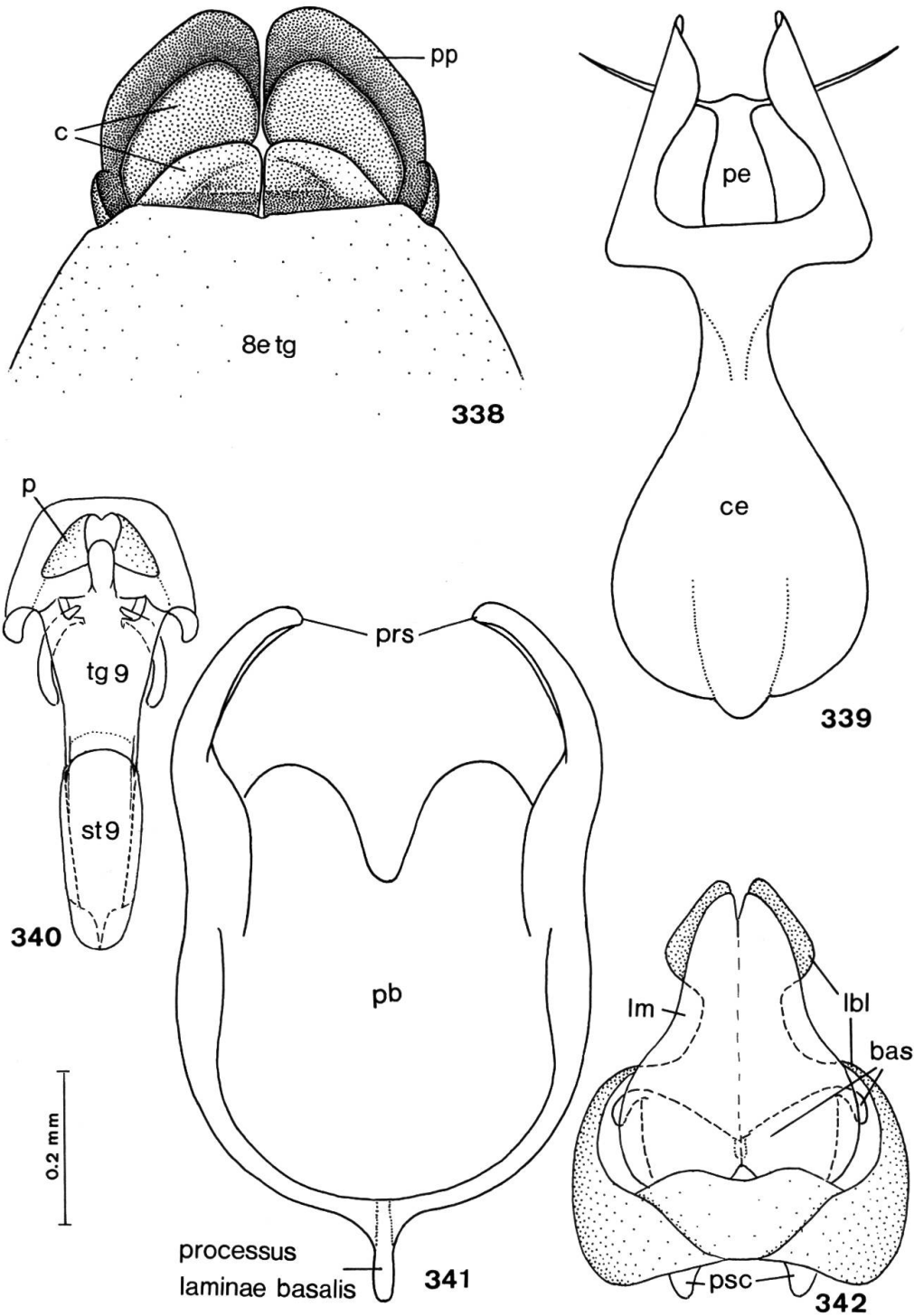


Figs 318–327: Voies génitales ♀ de: 318, *Silidius mocquerysi* (Pic), détail. 319, *Indopolemius dimidiatus* (F.), vue ventrale. 320, *Malthinus* (*Indomalthinus*) *multinotatus* (Pic), vue ventrale. 321, *M. flaveolus* (Herbst), vue ventrale. 322, *Malthinus conspicuus* Kiesw., vue ventrale. 323, *M. flaveolus* (Herbst), détail, vagin en vue latérale. 324, *M. atritarsis* Constantin in litt., vue ventrale. 325, *Malthodes marginatus* (Latr.), vue ventrale. 326, *M. trifurcatus* Kiesw., vue ventrale. 327, *Frostia* sp., vue latérale.

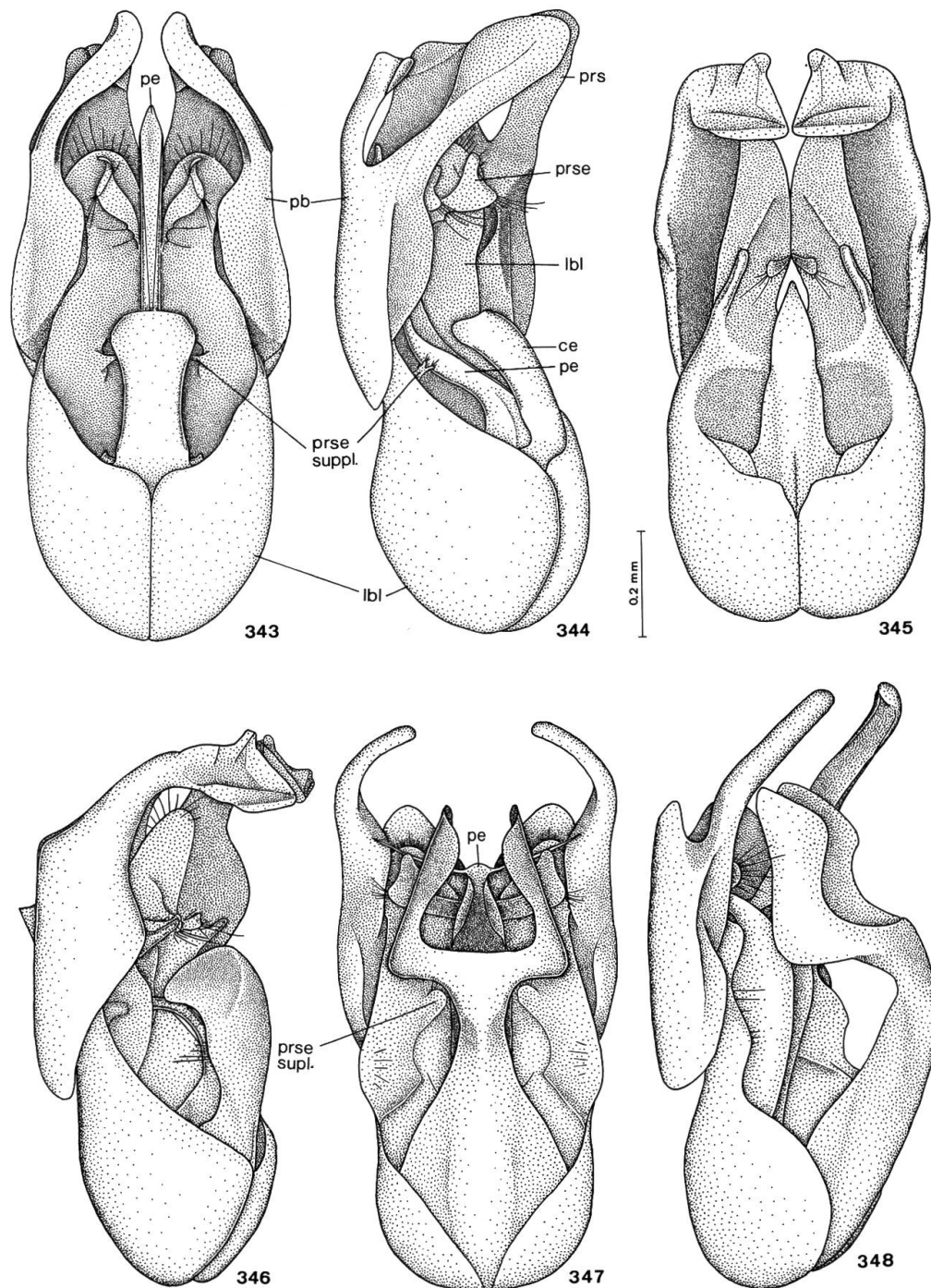




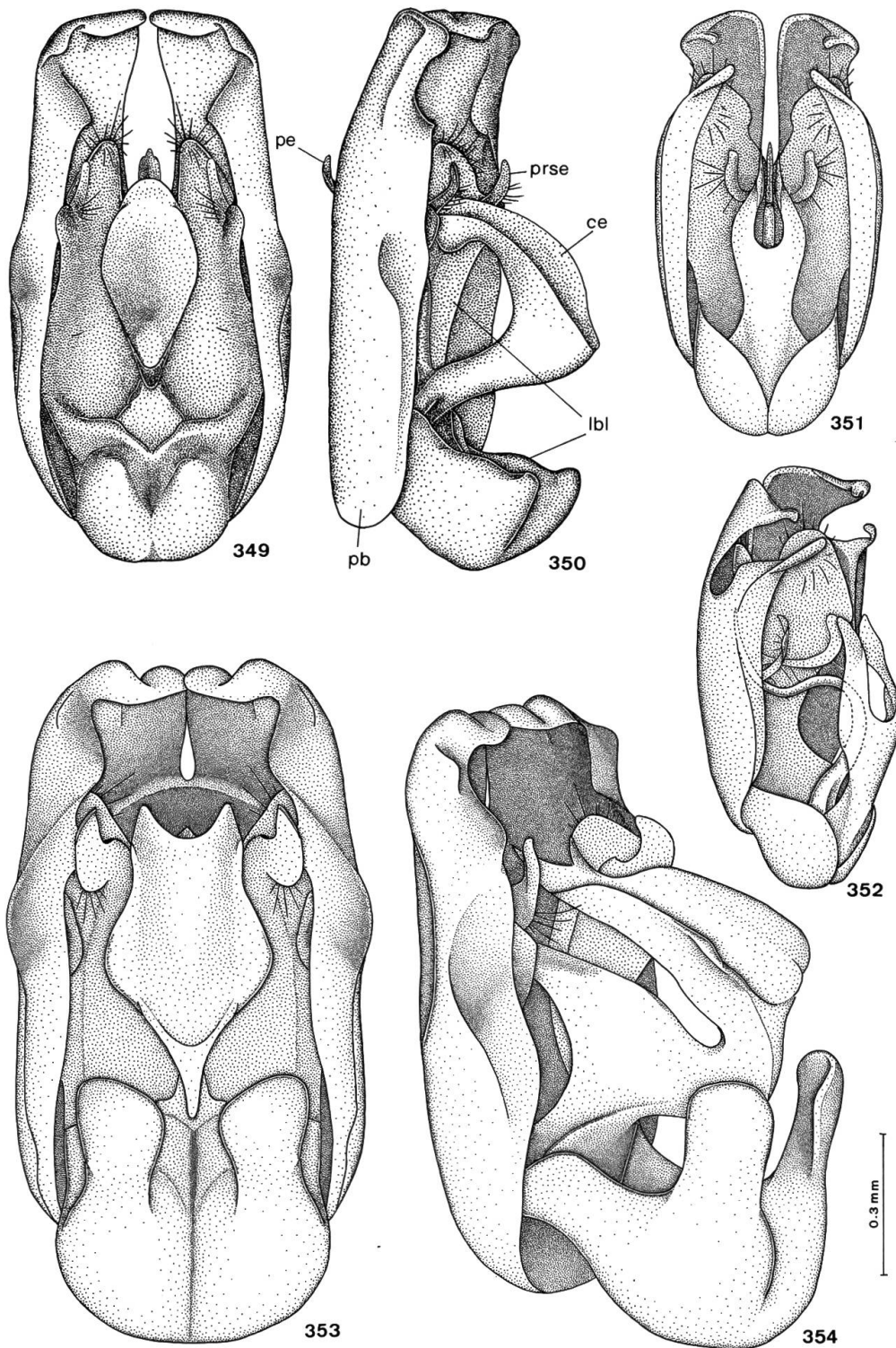
Figs 328–337: Voies génitales ♀ de: 328, *Maltypus reductocarinatus* Wittmer, vue ventrale. 329, *Frostia bhutanensis* (Wittmer), vue ventrale. 330, *Prosthaptus* sp., vue ventrale. 331, *Malchinus sinuato-collis* (Kiesw.), vue latérale. 332, Idem, vue ventrale. 333, *Chauliognathus marginatus* (F.), vue ventrale. 334, *Ch. scriptus* (Germar), vue ventrale. 335, *Ch. lugubris* (F.), vue ventrale. 336, *Ichthyurus lateralis* Westw., vue latérale. 337, *I. vandepolli* Gestro, vue latérale.



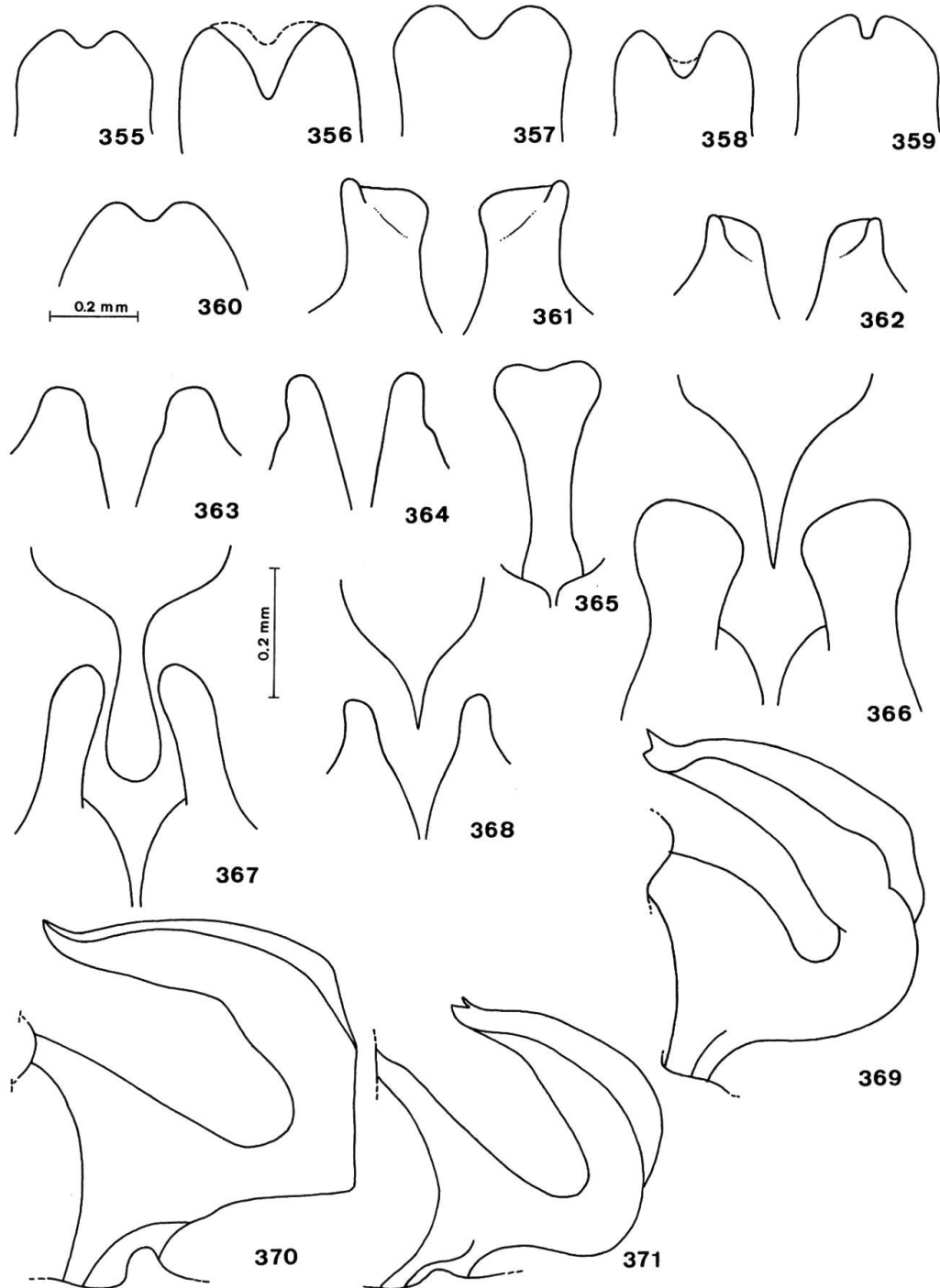
Figs 338–342: 338, *Caccodes cienfuegosensis* Wittmer, segments génitaux ♀ en vue ventrale. 339, *Malchinus tunicatus* Kiesw. ♂, centrophyse et pénis en vue dorsale. 340, *Prosthaptus kulzeri* Wittmer ♂, derniers segments abdominaux en vue ventrale. 341, *Malchinus tunicatus* Kiesw. ♂, pièce basale en vue ventrale et séparée des lobes latéraux. 342, *Tytthonyx erythrocephalus* (F.) ♂, édéage en vue dorsale.



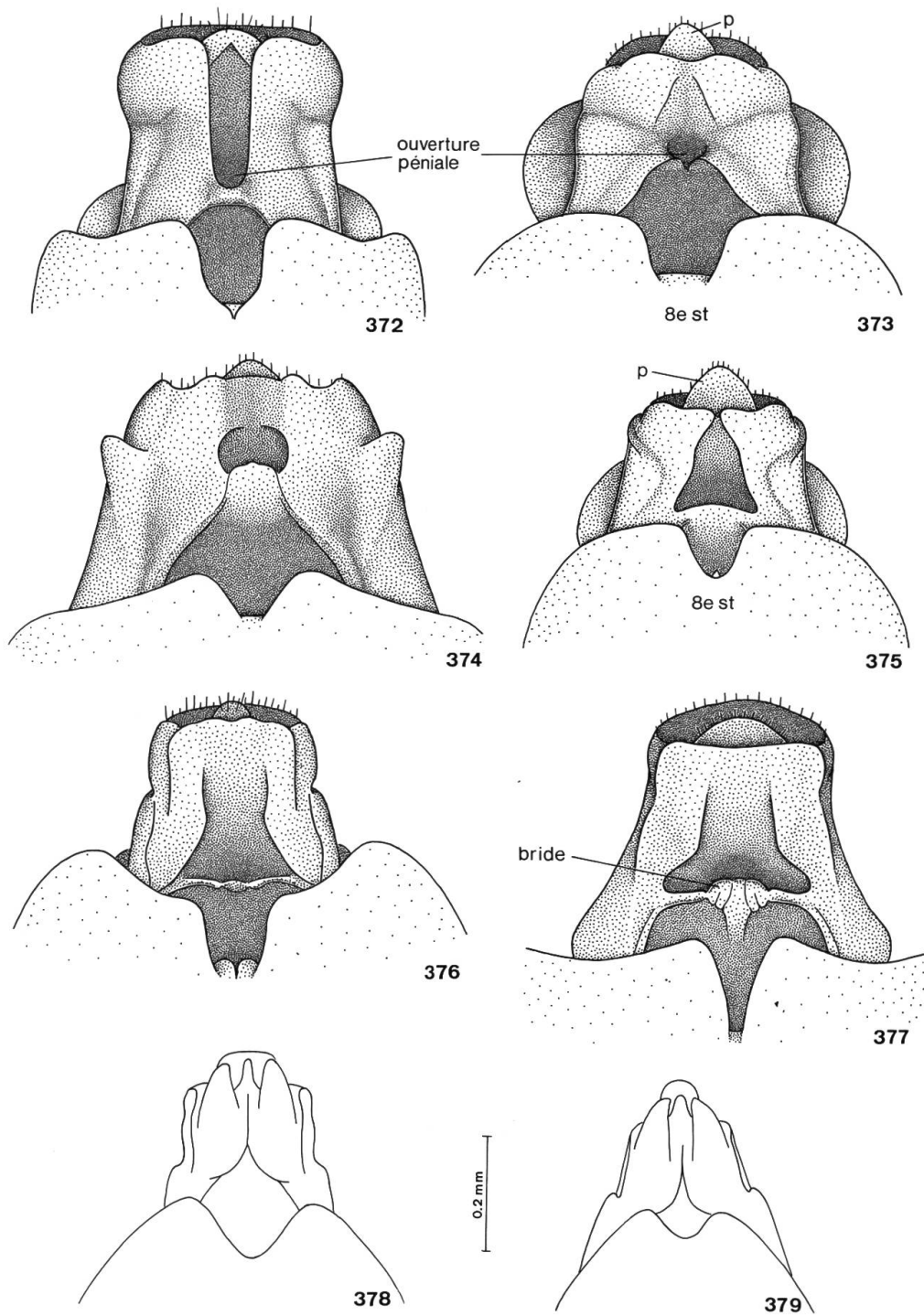
Figs. 343–348: Edéage ♂ de: 343, *Malchinus sinuatocollis* (Kiesw.), vue dorsale. 344, Idem, vue latérale. 345, *M. circassicus* Reitter, vue dorsale. 346, Idem, vue latérale. 347, *M. tunicatus* Kiesw., vue dorsale. 348, Idem, vue latérale.



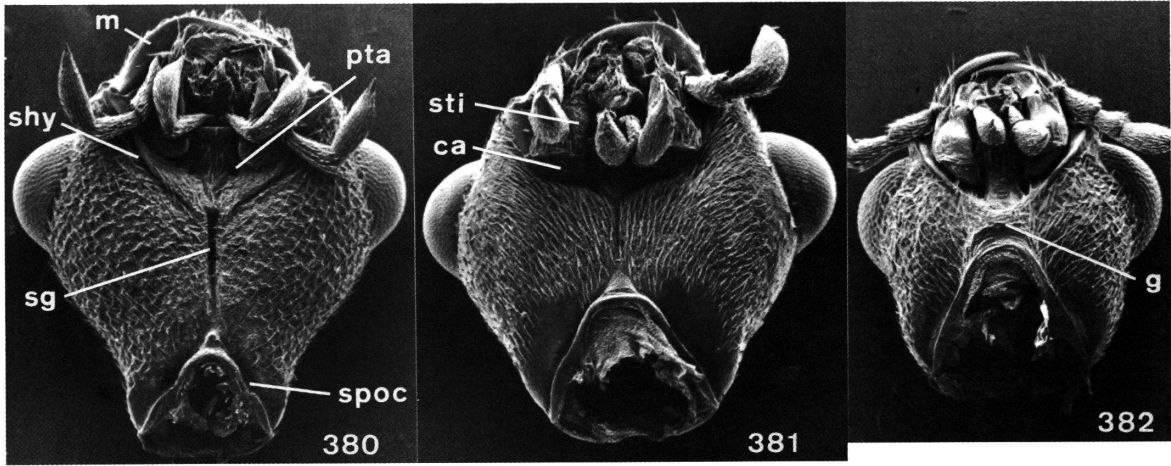
Figs 349–354: Edéage ♂ de: 349, *Malchinus carinicollis* Weise, vue dorsale. 350, Idem, vue latérale. 351, *M. nigrinus* Schauf., vue dorsale. 352, Idem, vue latérale. 353, *M. obscuripes* Pic, vue dorsale. 354, Idem, vue latérale.



Figs 355–371: 355–360. Dernier sternite abdominal ♂ de: 355, *Malchinus sinuatocollis* (Kiesw.). 356, *M. circassicus* Reitter. 357, *M. tunicatus* Kiesw. 358, *M. nigrinus* Schauf. 359, *M. carinicollis* Weise. 360, *M. obscuripes* Pic. 361–364. Bord postérieur ventral de la pièce basale chez *M. sinuatocollis* (Kiesw.), individu de: 361, Bulgarie. 362, Castelnuovo (Dalmatie). 363, Idem. 364, Split. 365, *M. sinuatocollis* (Kiesw.), centrophyse chez un individu de Sutorina. 366–368. Centrophyse et proéminences de la pièce basale en vue dorsale de: 366, *M. obscuripes* ssp. *obscuripes* Pic. 367, *M. obscuripes* ssp. *tokatensis* Pic. 368, *M. obscuripes* n.ssp. *soguksuensis*. 369–371. Centrophyse et base du pénis en vue latérale de: 369, *M. obscuripes* ssp. *obscuripes* Pic. 370, *M. obscuripes* ssp. *tokatensis* Pic. 371, *M. obscuripes* n.ssp. *soguksuensis*.

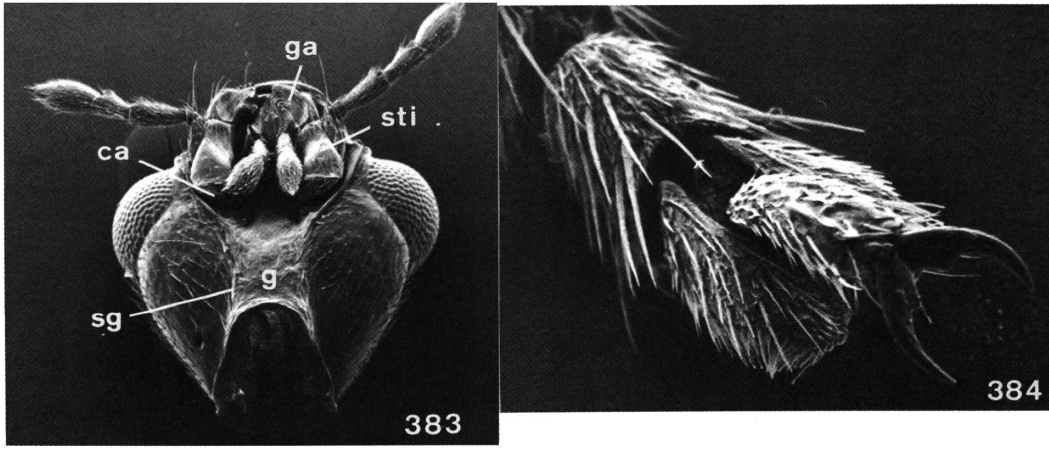


Figs 372–379: Segments génitaux ♀ en vue ventrale de: 372, *Malchinus sinuatocollis* (Kiesw.). 373, *M. circassicus* Reitter. 374, *M. tunicatus* Kiesw. 375, *M. nigrinus* Schauf. 376, *M. carinicollis* Weise. 377, *M. obscuripes* Pic. 378, *Malthodes gibbiceps* (Reitter). 379, *M. crassicornis* (Maeklin).



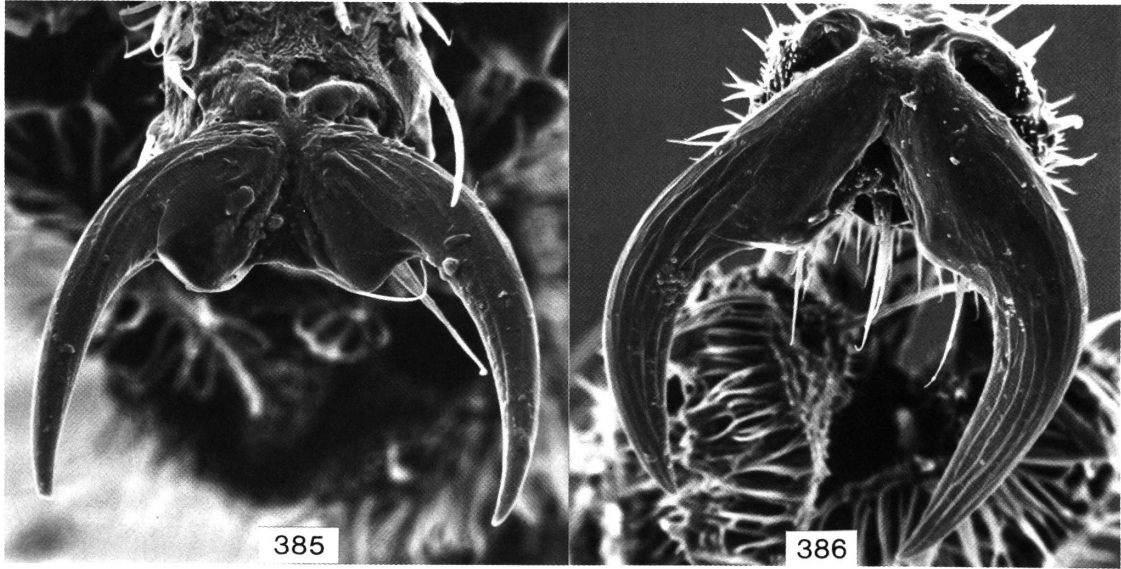
Figs 380–382: Capsule céphalique en vue ventrale de: 380, *Malthinus flaveolus* (Herbst) ( $\times 60$ ). 381, *Malthinus (Indomalthinus) bhaktai* Brancucci ( $\times 60$ ). 382, *Malchinus sinuocollis* (Kiesw.) ( $\times 60$ ).



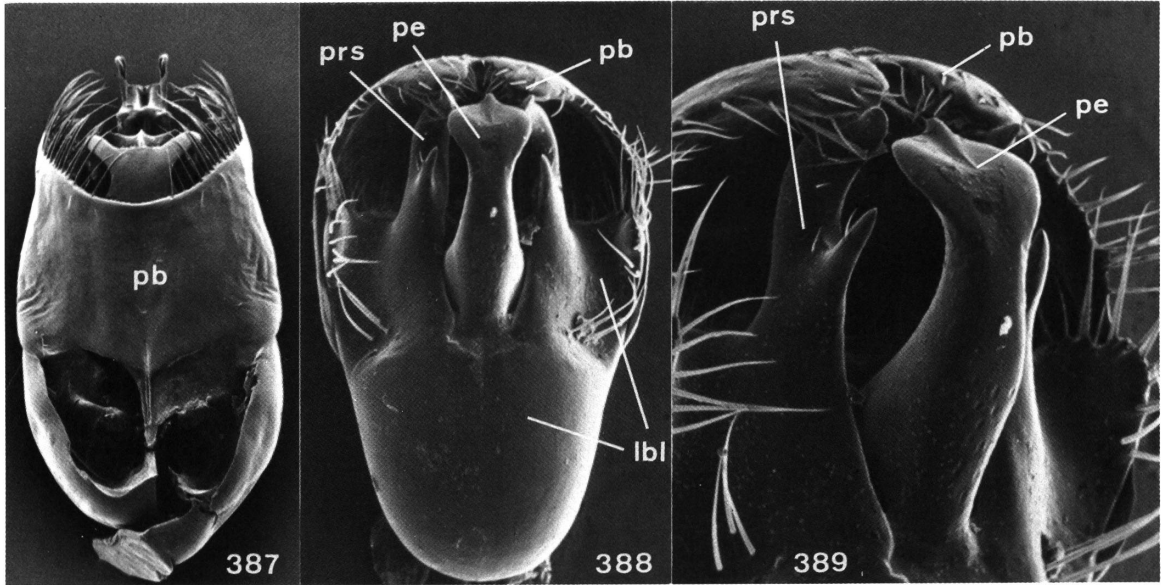


Figs 383–384: 383, *Malthodes flavoguttatus* Kiesw., capsule céphalique en vue ventrale ( $\times 60$ ). 384, *Malchinus sinuato-collis* (Kiesw.), derniers articles des tarsi ( $\times 340$ ).

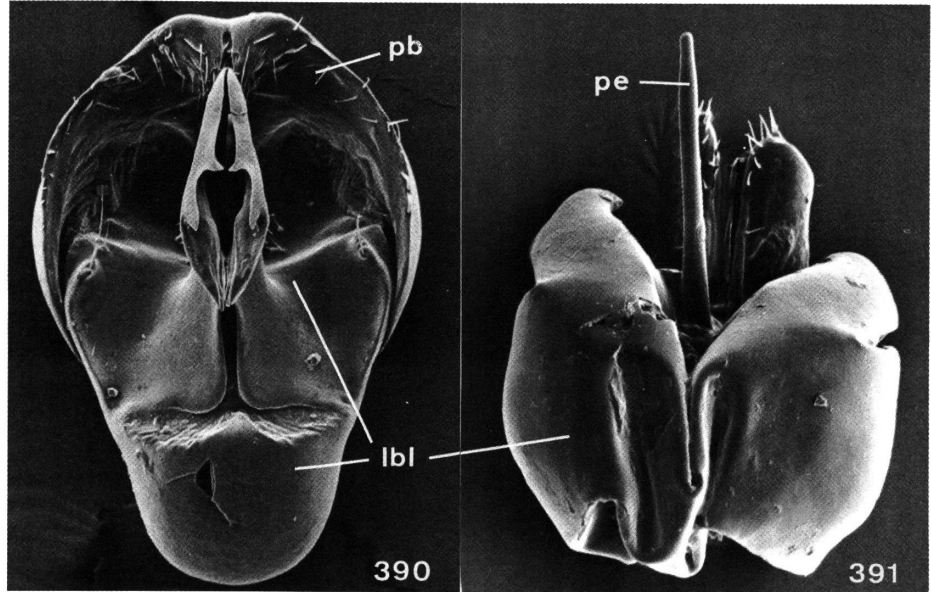




Figs 385–386: Ongles des tarsi de: 385, *Malthodes flavoguttatus* Kiesw. ( $\times 900$ ), 386, *Malthinus (Indomalthinus) bhaktai* Brancucci ( $\times 780$ ).



Figs 387–389: Edage ♂ de: 387, *Falsomalthinus pallidus* Pic, vue ventrale (×120). 388, *Malthodes spathifer* Kiesw., vue dorsale (×216). 389, Idem, vue dorso-latérale (×408).



Figs 390–391: Edéage  $\delta$  en vue dorsale de: 390, *Malthodes ganglbaueri* (Fiori) ( $\times 240$ ).  
391, *Imalthodes* sp. ( $\times 360$ ).